

**Teoretická fyzika 6 Základy teorie elektromagnetického pole**  
**Michal Lenc 6 podzim 2013**

**Obsah**

1.	Úvod .....	4
1.1	Maxwellovy rovnice .....	4
1.2	Energie a hybnost elektromagnetického pole.....	5
1.3	Elektřina a magnetismus .....	7
1.4	Podmínky na rozhraní .....	8
1.5	Elektromagnetické vlny.....	9
2.	Elektrostatika.....	10
2.1	Coulombův zákon .....	10
2.2	Newtonův zákon.....	10
2.3	Poissonova rovnice.....	11
2.3.1	Greenova funkce .....	11
2.3.2	Greenova vlnová rovnice.....	11
2.4	Elektrostatická energie náboje .....	13
2.5	Multipólový rozklad pole.....	13
2.5.1	Laplaceova rovnice ve sférických souřadnicích.....	13
2.5.2	Legendreovy polynomy.....	14
2.5.3	Kulové funkce .....	15
2.6	Pole bodových nábojů ve vakuu.....	16
2.7	Dielektrická koule v homogenním poli.....	17
3.	Magnetostatika .....	18
3.1	Analogie mezi elektrostatikou a magnetostatikou .....	18
3.2	Magnetické pole kruhové smyčky.....	19
4.	Kvasistacionární pole. ....	20

4.1	Skin-efekt. ....	20
4.2	Vzájemná induk nost a vlastní induk nost. ....	22
4.3	Komplexní odpor.....	23
5.	Maxwellovy rovnice v materiálovém prost edí .....	24
5.1	Mikroskopické Maxwellovy rovnice .....	24
5.2	Maxwellovy rovnice pro prost edí s triviálními materiálovými vztahy.....	26
6.	asov prom nná elektromagnetická pole ve vakuu .....	27
6.1	Rovinná a kulová vlna.....	27
6.2	Obecné e-ení nehomogenní rovnice pro potenciály .....	27
6.3	Pole asov prom nného dipólu.....	28
6.4	Lienard v - Wiechert v potenciál.....	30
6.5	Ztráta energie zá ením.....	32
7.	Rozptyl zá ení volnými náboji. ....	33
7.1	Thomson v vzorec .....	33
7.2	Modifikace Thomsonova vzorce .....	34
7.3	Index lomu.....	34
8.	Elektromagnetické pole v dispersním prost edí. ....	35
8.1	Maxwellovy rovnice.....	35
8.2	Disipace energie .....	37
8.3	Fázová a grupová rychlost.....	38
9.	Rovnice elektromagnetického pole ve ty rozm rném zápisu.....	39
9.1	ty rozm rný vektor proudu, rovnice kontinuity .....	39
9.2	Náboj v elektromagnetickém poli .....	39
9.3	Tensor elektromagnetického pole .....	40
9.4	První pár Maxwellových rovnic .....	42
9.5	Druhý pár Maxwellových rovnic .....	42
9.6	Tensor energie ó hybnosti .....	43

9.7	Vlnová rovnice a rovinné vlny .....	44
-----	-------------------------------------	----

# 1. Úvod

## 1.1 Maxwellovy rovnice

Základ teorie elektromagnetického pole tvoří Maxwellovy rovnice a pohybové rovnice náboje v elektromagnetickém poli. Maxwellovy rovnice popisující elektromagnetické pole vytvářené ve vakuu volnými náboji hustoty  $\rho$  a proudy hustoty  $\vec{j}$  jsou

$$\begin{aligned}\vec{\nabla} \cdot \vec{E} &= \frac{\rho}{\epsilon_0} \quad , \quad \vec{\nabla} \times \vec{E} = -\frac{\partial \vec{B}}{\partial t} \quad , \\ \frac{1}{\mu_0} \vec{\nabla} \times \vec{B} &= \epsilon_0 \frac{\partial \vec{E}}{\partial t} + \vec{j} \quad , \quad \vec{\nabla} \cdot \vec{B} = 0 \quad .\end{aligned}\tag{1.1}$$

Druhý Newtonův zákon pro částici s nábojem  $e$  je

$$\frac{d\vec{p}}{dt} = e[\vec{E} + \vec{v} \times \vec{B}] \quad .\tag{1.2}$$

Konstanty v (1.1) jsou dány volbou soustavy jednotek SI. Intenzita elektrického pole je udávána ve  $\text{Vm}^{-1}$ , indukce magnetického pole má jednotku T. Platí

$$\frac{1}{\epsilon_0 \mu_0} = c^2 \quad , \quad \mu_0 = 4\pi 10^{-7} \text{ H m}^{-1} \quad , \quad c = 299792458 \text{ ms}^{-1} \quad .\tag{1.3}$$

Zavádíme také indukci elektrického  $\vec{D} = \epsilon_0 \vec{E}$  a intenzitu magnetického pole  $\vec{H} = \vec{B}/\mu_0$ .

Pomocí těchto veličin můžeme Maxwellovy rovnice přepsat do tvaru

$$\begin{aligned}\vec{\nabla} \cdot \vec{B} &= 0 \quad , \quad \vec{\nabla} \times \vec{E} = -\frac{\partial \vec{B}}{\partial t} \quad , \\ \vec{\nabla} \cdot \vec{D} &= \rho \quad , \quad \vec{\nabla} \times \vec{H} = \frac{\partial \vec{D}}{\partial t} + \vec{j} \quad .\end{aligned}\tag{1.4}$$

První část rovnic v (1.4) určuje charakter pole, druhá část rovnic spojuje pole se zdroji. Ve tvaru (1.4) platí rovnice i v látkovém prostředí, na rozdíl od vakua jsou však v látkovém prostředí vztahy mezi vektory indukce a intenzity netriviální a často velmi komplikované. To, jaké jsou základní vektory pole považujeme právě elektrickou intenzitu a magnetickou indukci, je dáno charakterem Lorentzovy síly v (1.2) a prvním částí rovnic v (1.4). S využitím Gaussovy a Greenovy věty

$$\int_V \text{div} \vec{X} \, dV = \oint_{\partial V} \vec{X} \cdot d\vec{S} \quad , \quad \int_S \vec{X} \cdot d\vec{S} = \oint_{\partial S} \text{rot} \vec{X} \cdot d\vec{l}\tag{1.5}$$

získáme integrální tvar Maxwellových rovnic

$$\Phi_{\partial V}^{(M)} = 0 \quad , \quad \Phi_{\partial V}^{(E)} = Q \quad , \quad U_{\partial S}^{(M)} = \frac{d\Phi_S^{(E)}}{dt} + J \quad , \quad U_{\partial S}^{(E)} = -\frac{d\Phi_S^{(M)}}{dt} \quad .\tag{1.6}$$

Rovnice vyjadřují tyto zákony:

- 1) Neexistuje magnetický náboj, tedy tok magnetické indukce  $\Phi_{\partial V}^{(M)} = \oint_{\partial V} \vec{B} \cdot d\vec{S}$  uzavřenou plochou  $\partial V$  je nulový, siločáry magnetického pole jsou uzavřené křivky.
- 2) Gaussova vta: tok elektrické indukce  $\Phi_{\partial V}^{(E)} = \oint_{\partial V} \vec{D} \cdot d\vec{S}$  plochou  $\partial V$  uzavírající objem  $V$  je roven náboji v tomto objemu obsaženému  $Q = \int_V \rho dV$ .
- 3) Zobecněný Ampérův zákon: magnetomotorické napětí  $U_{\partial S}^{(M)} = \oint_{\partial S} \vec{H} \cdot d\vec{l}$  vytvořené na křivce  $\partial S$  ohraničující plochu  $S$  je rovno součtu časové změny toku elektrické indukce  $d\Phi_S^{(E)}/dt = d\left(\int_S \vec{D} \cdot d\vec{S}\right)/dt$  touto plochou a proudu tekoucího touto plochou  $J = \int_S \vec{j} \cdot d\vec{S}$ .
- 4) Faradayův indukční zákon: elektromotorické napětí  $U_{\partial S}^{(E)} = \oint_{\partial S} \vec{E} \cdot d\vec{l}$  vytvořené na křivce  $\partial S$  ohraničující plochu  $S$  je rovno záporné změně toku magnetické indukce touto plochou  $-d\Phi_S^{(M)}/dt = -d\left(\int_S \vec{B} \cdot d\vec{S}\right)/dt$ .

## 1.2 Energie a hybnost elektromagnetického pole

Máme testovací částici s energií  $\varepsilon$  a hybností  $\vec{p}$ . Při přechodu ke spojitému rozložení náboje a proudu je

$$\Delta \varepsilon = \vec{F} \cdot \Delta \vec{r} = \frac{1}{\rho} \vec{F} \cdot \vec{j} \Delta t, \quad \vec{F} = \rho \vec{E} \Delta V + \vec{j} \times \vec{B} \Delta V \Rightarrow \frac{1}{\Delta V} \frac{\Delta \varepsilon}{\Delta t} = \vec{j} \cdot \vec{E}. \quad (1.7)$$

Energie získaná částicí za jednotku času je tedy  $\vec{j} \cdot \vec{E} \Delta V$ , je tedy práce vykonaná polem za jednotku času vztažená na jednotku objemu  $-\vec{j} \cdot \vec{E}$ . S využitím vztahu

$$\vec{E} \cdot (\nabla \times \vec{H}) - \vec{H} \cdot (\nabla \times \vec{E}) = \nabla \cdot (\vec{H} \times \vec{E}) \quad (1.8)$$

odvodíme z Maxwellových rovnic výraz

$$\vec{H} \cdot \frac{\partial \vec{B}}{\partial t} + \vec{E} \cdot \frac{\partial \vec{D}}{\partial t} = -\vec{j} \cdot \vec{E} - \nabla \cdot (\vec{E} \times \vec{H}). \quad (1.9)$$

Na pravé straně vystupuje hustota vykonané práce a nějaký tok, výraz na levé straně můžeme tedy interpretovat jako časovou změnu hustoty energie  $W$ . Po zavedení veličin časové změny hustoty energie a Poyntingova vektoru  $\vec{S}$

$$\frac{\partial W}{\partial t} = \vec{H} \cdot \frac{\partial \vec{B}}{\partial t} + \vec{E} \cdot \frac{\partial \vec{D}}{\partial t} \quad , \quad \vec{S} = \vec{E} \times \vec{H} \quad (1.10)$$

m flemě (1.9) psát v integrálním tvaru jako

$$\frac{\partial}{\partial t} \int_V W \, dV + \int_V \vec{j} \cdot \vec{E} \, dV + \int_{\Sigma} \vec{S} \cdot \vec{n} \, d\Sigma = 0 \quad . \quad (1.11)$$

V prost edí popsaném materiálovými vztahy

$$D_i = \varepsilon_0 \varepsilon_{ik}^{(r)} E_k \quad , \quad B_i = \mu_0 \mu_{ik}^{(r)} H_k \quad (1.12)$$

má hustota energie jednoduché vyjád ení

$$W = \frac{1}{2} (\vec{E} \cdot \vec{D} + \vec{B} \cdot \vec{H}) \quad . \quad (1.13)$$

Obdobnou úvahu jako pro energii pole m flemě provést pro jeho hybnost. Pi p echodu ke spojitému rozložení náboje je

$$\Delta \vec{p} = \vec{F} \Delta t \quad , \quad \vec{F} = \rho \vec{E} \Delta V + \vec{j} \times \vec{B} \Delta V \quad \Rightarrow \quad \frac{1}{\Delta V} \frac{\Delta \vec{p}}{\Delta t} = \rho \vec{E} + \vec{j} \times \vec{B} \quad . \quad (1.14)$$

Z Maxwellových rovnic odvodíme výraz

$$\begin{aligned} \vec{D} \times \frac{\partial \vec{B}}{\partial t} + \frac{\partial \vec{D}}{\partial t} \times \vec{B} = \\ \vec{E} (\vec{\nabla} \cdot \vec{D}) - \vec{D} \times (\vec{\nabla} \times \vec{E}) + \vec{H} (\vec{\nabla} \cdot \vec{B}) - \vec{B} \times (\vec{\nabla} \times \vec{H}) - \vec{j} \times \vec{B} - \rho \vec{E} \quad . \end{aligned} \quad (1.15)$$

Poslední dva leny na pravé stran popisují Lorentzovu sílu, m flemě tedy výraz na levé stran interpretovat jako asovou zm nu hustoty hybnosti pole

$$\vec{G} = \vec{D} \times \vec{B} \quad . \quad (1.16)$$

Provedeme úpravu výraz v (1.15)

$$\begin{aligned} \left[ \vec{E} (\vec{\nabla} \cdot \vec{D}) - \vec{D} \times (\vec{\nabla} \times \vec{E}) \right]_i = \sum_{j=1}^3 \frac{\partial}{\partial x_j} \left( E_i D_j - \frac{1}{2} \delta_{ij} \vec{E} \cdot \vec{D} \right) - \frac{1}{2} \left( \vec{D} \cdot \frac{\partial \vec{E}}{\partial x_i} - \vec{E} \cdot \frac{\partial \vec{D}}{\partial x_i} \right) \quad , \\ \left[ \vec{H} (\vec{\nabla} \cdot \vec{B}) - \vec{B} \times (\vec{\nabla} \times \vec{H}) \right]_i = \sum_{j=1}^3 \frac{\partial}{\partial x_j} \left( H_i B_j - \frac{1}{2} \delta_{ij} \vec{H} \cdot \vec{B} \right) - \frac{1}{2} \left( \vec{B} \cdot \frac{\partial \vec{H}}{\partial x_i} - \vec{H} \cdot \frac{\partial \vec{B}}{\partial x_i} \right) \quad . \end{aligned} \quad (1.17)$$

a zákon zachování má pak tvar

$$\frac{\partial}{\partial t} \int_V G_i \, dV + \int_V P_i \, dV + \int_{\Sigma} \sum_{j=1}^3 T_{ij} n_j \, d\Sigma = 0 \quad . \quad (1.18)$$

Rozdělení na prostředí a pole provedené v (1.18) není jednoznačné. Definovali jsme Maxwellův tenzor napětí  $T_{ij}$  jako<sup>1</sup>

$$T_{ij} = -(E_i D_j + H_i B_j) + \frac{1}{2} \delta_{ij} (\vec{E} \cdot \vec{D} + \vec{H} \cdot \vec{B}) \quad (1.19)$$

a hustotu hybnosti prostředí

$$P_i = \rho E_i + (\vec{j} \times \vec{B})_i + \frac{1}{2} \left[ \vec{D} \cdot \frac{\partial \vec{E}}{\partial x_i} - \vec{E} \cdot \frac{\partial \vec{D}}{\partial x_i} + \vec{B} \cdot \frac{\partial \vec{H}}{\partial x_i} - \vec{H} \cdot \frac{\partial \vec{B}}{\partial x_i} \right] . \quad (1.20)$$

Takto definovaný Maxwellův tenzor určuje tok hybnosti z uvažovaného objemu. Jeho stopa je rovna hustotě energie

$$W - \sum_{i=1}^3 T_{ii} = 0 . \quad (1.21)$$

### 1.3 Elektřina a magnetismus

Pro statické (na časě nezávislé) jevy můžeme zvlášť studovat elektrostatiku a zvlášť magnetostatiku, jak je vidět z Maxwellových rovnic (1.4). Pro elektrostatiku je

$$\vec{\nabla} \cdot \vec{D} = \rho , \quad \vec{\nabla} \times \vec{E} = 0 \quad (1.22)$$

a pro magnetostatiku

$$\vec{\nabla} \times \vec{H} = \vec{j} , \quad \vec{\nabla} \cdot \vec{B} = 0 . \quad (1.23)$$

e–žeme-li úlohu pro homogenní prostředí s triviálními vztahy mezi indukci a intenzitou, tj.

$$\vec{D} = \epsilon_r \epsilon_0 \vec{E} , \quad \vec{B} = \mu_r \mu_0 \vec{H} , \quad (1.24)$$

vede substituce

$$\vec{E} = -\vec{\nabla} \phi \quad (1.25)$$

k tomu, že rovnice s rotací v (1.22) je splněna identicky a rovnice s divergencí dává Poissonovu rovnici

$$\Delta \phi = -\frac{\rho}{\epsilon_r \epsilon_0} . \quad (1.26)$$

Naopak substituce

$$\vec{B} = \vec{\nabla} \times \vec{A}' \quad (1.27)$$

vede k tomu, že rovnice s divergencí v (1.23) je splněna identicky a rovnice s rotací vede na rovnici<sup>2</sup>

---

<sup>1</sup> Jsou možné i jiné definice, které se vždy shodují pro vakuum. Vzhledem k obtížnosti experimentálního ověření v jiném prostředí není otázka správného rozdělení hybnosti mezi špoleč a šhmotů roz–ena.

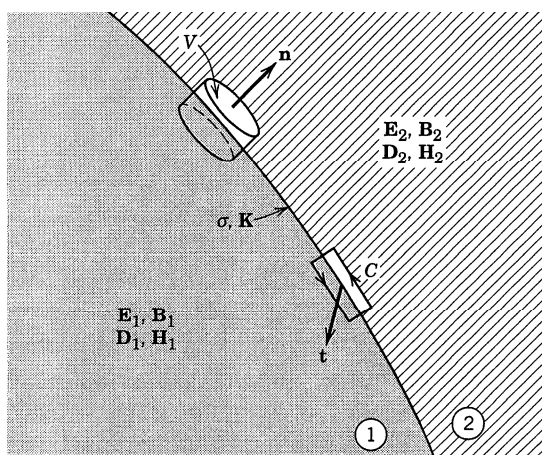
$$\Delta \vec{A}' - \vec{\nabla}(\vec{\nabla} \cdot \vec{A}') = -\mu_r \mu_0 \vec{j} \quad (1.28)$$

Vektorový potenciál nezmění hodnotu magnetické indukce, pokud přidáme k původnímu vektoru gradient libovolné skalární funkce ( $\text{rot grad } f \equiv 0$ ). Toho můžeme využít k volbě takového potenciálu  $\vec{A} = \vec{A}' + \vec{\nabla} f$ , jehož divergence je nulová<sup>3</sup> a místo (1.28) máme opět (vektorovou) Poissonovu rovnici

$$\Delta \vec{A} = -\mu_r \mu_0 \vec{j} \quad .$$

#### 1.4 Podmínky na rozhraní

Máme-li dvě homogenní prostředí se společným rozhraním, máme rovnice pole zvlášť v každém z nich. Potom musíme zajistit, aby byly na společném rozhraní splněny podmínky plynoucí z Maxwellových rovnic. Na obrázku<sup>4</sup> je popis všech potřebných veličin:  $\vec{n}$  normála



a  $\vec{t}$  tečna k rozhraní, rovnoběžné s rozhraním jsou i podstavy válce o ploše  $\Delta S$  a delší strany obdélníku délky  $\Delta \ell$ . Kratší strany obdélníku i stěny válce mají zanedbatelné délky. Povrchová hustota náboje je označena  $\sigma$ , povrchová hustota proudu  $\vec{K}$  (má složky pouze podél rozhraní). Integrovaný tvar Maxwellových rovnic s divergencemi je

$$\oint_S \vec{D} \cdot \vec{n} dS = \int_V \rho dV \Rightarrow (\vec{D}_2 - \vec{D}_1) \cdot \vec{n} \Delta S = \sigma \Delta S$$

a

$$\oint_S \vec{B} \cdot \vec{n} dS = 0 \Rightarrow (\vec{B}_2 - \vec{B}_1) \cdot \vec{n} \Delta S = 0 \quad .$$

<sup>2</sup>  $\text{rot rot } \vec{V} = \vec{\nabla} \times (\vec{\nabla} \times \vec{V}) = \vec{\nabla}(\vec{\nabla} \cdot \vec{V}) - (\vec{\nabla} \cdot \vec{\nabla}) \vec{V} = \text{grad}(\text{div } \vec{V}) - \Delta \vec{V} \quad .$

<sup>3</sup>  $\text{div } \vec{A} = 0$  znamená, že funkci  $f$  volíme jako řešení rovnice  $\Delta f = -\text{div } \vec{A}'$ .

<sup>4</sup> J. D. Jackson: Classical Electrodynamics (John Wiley & Sons, 1999), Figure 1.4.



Integrální tvar rovnic s rotacemi je

$$\oint_C \vec{E} \cdot (\vec{t} \times \vec{n}) d\ell = 0 \Rightarrow (\vec{E}_2 - \vec{E}_1) \cdot (\vec{t} \times \vec{n}) \Delta\ell = 0$$

a

$$\oint_C \vec{H} \cdot (\vec{t} \times \vec{n}) d\ell = \int_S \vec{j} \cdot \vec{t} dS \Rightarrow (\vec{H}_2 - \vec{H}_1) \cdot (\vec{t} \times \vec{n}) \Delta\ell = \vec{K} \cdot \vec{t} \Delta\ell .$$

leny  $\int_S \partial \vec{B} / \partial t dS$  a  $\int_S \partial \vec{D} / \partial t dS$  mají omezený integrand a v limit malé plochy jdou k nule, proto jsme je v posledních dvou vztazích ani nepsali. Máme tak pro normálové složky

$$(\vec{D}_2 - \vec{D}_1) \cdot \vec{n} = \sigma \quad , \quad (\vec{B}_2 - \vec{B}_1) \cdot \vec{n} = 0 \quad (1.29)$$

a pro tečné složky<sup>5</sup>

$$\vec{n} \times (\vec{E}_2 - \vec{E}_1) = 0 \quad , \quad \vec{n} \times (\vec{H}_2 - \vec{H}_1) = \vec{K} \quad . \quad (1.30)$$

## 1.5 Elektromagnetické vlny

Zavedeme-li pro popis časov proměnného elektromagnetického pole vektorový a skalární potenciál vztahy

$$\vec{B} = \vec{\nabla} \times \vec{A} \quad , \quad \vec{E} = -\vec{\nabla} \phi - \frac{\partial \vec{A}}{\partial t} \quad , \quad (1.31)$$

máme po dosazení do Maxwellových rovnic

$$\begin{aligned} \Delta \phi + \frac{\partial}{\partial t} \vec{\nabla} \cdot \vec{A} &= -\frac{\rho}{\epsilon_0} \quad , \\ \Delta \vec{A} - \epsilon_0 \mu_0 \frac{\partial^2 \vec{A}}{\partial t^2} - \vec{\nabla} \left( \vec{\nabla} \cdot \vec{A} + \epsilon_0 \mu_0 \frac{\partial \phi}{\partial t} \right) &= -\mu_0 \vec{j} \quad . \end{aligned} \quad (1.32)$$

S využitím kalibrační transformace (tj. transformace, která nevede ke změně vektor  $\vec{E}$  a  $\vec{B}$ )

$$\vec{A} \rightarrow \vec{A} + \vec{\nabla} \psi \quad , \quad \phi \rightarrow \phi - \frac{\partial \psi}{\partial t} \quad (1.33)$$

můžeme dosáhnout, aby platilo

$$\vec{\nabla} \cdot \vec{A} + \epsilon_0 \mu_0 \frac{\partial \phi}{\partial t} = 0 \quad (1.34)$$

a dostáváme tak pro potenciály nehomogenní vlnovou rovnici

---

<sup>5</sup> Platí  $\vec{X} \cdot (\vec{t} \times \vec{n}) = \vec{t} \cdot (\vec{n} \times \vec{X})$  a vektor  $\vec{t}$  je libovolný tečný vektor k rozhraní.

$$\Delta \phi - \frac{1}{c^2} \frac{\partial^2 \phi}{\partial t^2} = -\frac{\rho}{\epsilon_0} ,$$

$$\Delta \vec{A} - \frac{1}{c^2} \frac{\partial^2 \vec{A}}{\partial t^2} = -\mu_0 \vec{j} .$$
(1.35)

## 2. Elektrostatika

### 2.1 Coulomb v zákon

Síla, kterou působí náboj  $q_2$  (nacházející se v místě 2) na náboj  $q_1$  v místě 1 je

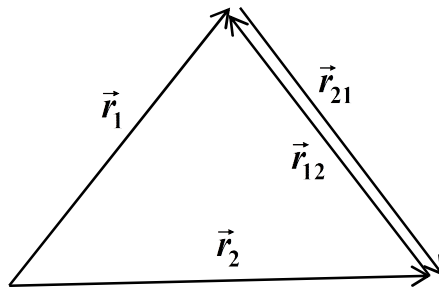
$$\vec{F}_1 = \frac{1}{4\pi\epsilon_0} \frac{q_1 q_2}{r_{12}^3} \vec{r}_{12} , \quad \vec{r}_{12} = \vec{r}_1 - \vec{r}_2 , \quad r_{12} = |\vec{r}_1 - \vec{r}_2|$$
(2.1)

a síla, kterou působí náboj  $q_1$  (nacházející se v místě 1) na náboj  $q_2$  v místě 2 je

$$\vec{F}_2 = \frac{1}{4\pi\epsilon_0} \frac{q_1 q_2}{r_{21}^3} \vec{r}_{21} , \quad \vec{r}_{21} = \vec{r}_2 - \vec{r}_1 , \quad r_{21} = |\vec{r}_2 - \vec{r}_1| ,$$
(2.2)

je tedy

$$\vec{F}_1 = -\vec{F}_2 .$$
(2.3)



### 2.2 Newton v zákon

Newton v gravita ní zákon zde uvádíme pro porovnání. Síla, kterou působí hmotnost  $m_2$  (nacházející se v místě 2) na hmotnost  $m_1$  v místě 1 je

$$\vec{F}_1 = G \frac{m_1 m_2}{r_{21}^3} \vec{r}_{21} , \quad \vec{r}_{21} = \vec{r}_2 - \vec{r}_1 , \quad r_{21} = |\vec{r}_2 - \vec{r}_1|$$
(2.4)

a síla, kterou působí hmotnost  $m_1$  (nacházející se v místě 1) na hmotnost  $m_2$  v místě 2 je

$$\vec{F}_2 = G \frac{m_1 m_2}{r_{12}^3} \vec{r}_{12} , \quad \vec{r}_{12} = \vec{r}_1 - \vec{r}_2 , \quad r_{12} = |\vec{r}_1 - \vec{r}_2| ,$$
(2.5)

je tedy samozřejmě opět  $\vec{F}_1 = -\vec{F}_2$ .

## 2.3 Poissonova rovnice

### 2.3.1 Greenova funkce<sup>6</sup>

Poissonovu rovnici pro elektrostatické pole

$$-\Delta \phi = \frac{\rho}{\epsilon_0} \quad (2.6)$$

i rovnici pro gravitační pole

$$\Delta \phi = 4\pi G \mu \quad (2.7)$$

budeme psát jednotným způsobem jako

$$\hat{H}|\psi\rangle = |J\rangle, \quad (2.8)$$

kde  $\hat{H} = -\Delta$  a  $|J\rangle = \rho/\epsilon_0$  nebo  $|J\rangle = -4\pi G \mu$ . Předpokládáme, že známe vlastní funkce a vlastní hodnoty operátoru  $\hat{H}$

$$\langle x|\hat{H}|x'\rangle = \langle x|\left(\sum_m \lambda_m |\psi_m\rangle\langle\psi_m|\right)|x'\rangle = \sum_m \lambda_m \psi_m^*(x')\psi_m(x). \quad (2.9)$$

Předpokládáme dále, že žádná z vlastních hodnot není rovna nule. Položíme pak Greenovu funkci rovnou

$$\langle x|\hat{G}|x'\rangle = \langle x|\left(\sum_m \frac{1}{\lambda_m} |\psi_m\rangle\langle\psi_m|\right)|x'\rangle = \sum_m \frac{1}{\lambda_m} \psi_m^*(x')\psi_m(x). \quad (2.10)$$

Potom dostáváme

$$\begin{aligned} \langle x|\hat{G}\hat{H}|x'\rangle &= \langle x|\left(\sum_m \frac{1}{\lambda_m} |\psi_m\rangle\langle\psi_m|\right)\left(\sum_n \lambda_n |\psi_n\rangle\langle\psi_n|\right)|x'\rangle = \\ &\langle x|\left(\sum_n |\psi_n\rangle\langle\psi_n|\right)|x'\rangle = \langle x|\hat{I}|x'\rangle = \delta(x-x'). \end{aligned} \quad (2.11)$$

Je-li Poissonovy rovnice tak zapíšeme ve tvaru

$$\langle x|\psi\rangle = \langle x|\hat{G}|J\rangle = \int \langle x|\hat{G}|x'\rangle \langle x'|J\rangle dx' \quad (2.12)$$

nebo

$$\psi(x) = \sum_n \frac{1}{\lambda_n} \psi_n(x) \int \psi_n^*(x') J(x') dx'. \quad (2.13)$$

### 2.3.2 Greenova vta

Víme si nejprve psát rovnici pro Laplaceovu funkci  $1/r$ . Máme

---

<sup>6</sup> Tento odstavec možno vynechat.

$$\vec{\nabla} \frac{1}{r} = -\frac{\vec{r}}{r^3}, \quad \vec{\nabla} \cdot \left( \vec{\nabla} \frac{1}{r} \right) = 0 \quad (2.14)$$

v-ude, kde je tato funkce dobře definována, tedy s výjimkou bodu  $r=0$ . Použitím Gaussovy v ty na kouli se středem v počátku máme

$$\int_K \vec{\nabla} \cdot \left( \vec{\nabla} \frac{1}{r} \right) dV = -4\pi. \quad (2.15)$$

Pokud považujeme  $\Delta(1/r)$  za funkci, je její chování neobvyklé. Zapisujeme ji pomocí Diracovy delta funkce jako

$$\Delta \frac{1}{r} = -4\pi \delta^{(3)}(\vec{r}). \quad (2.16)$$

Z Gaussovy v ty plyne Greenova v ta. Máme identity

$$\begin{aligned} \vec{\nabla} \cdot (u \vec{\nabla} v) &= u \vec{\nabla} \cdot (\vec{\nabla} v) + (\vec{\nabla} u) \cdot (\vec{\nabla} v), \\ \vec{\nabla} \cdot (v \vec{\nabla} u) &= v \vec{\nabla} \cdot (\vec{\nabla} u) + (\vec{\nabla} v) \cdot (\vec{\nabla} u). \end{aligned}$$

Po odečtení rovnic a užití Gaussovy v ty dostáváme Greenovu v tu

$$\int_V (u \Delta v - v \Delta u) dV = \int_{\partial V} (u \vec{\nabla} v - v \vec{\nabla} u) \cdot \vec{n} dS. \quad (2.17)$$

Máme tedy pro  $u = \phi$  a  $v = 1/r$

$$\Delta \phi = -\frac{\rho}{\epsilon_0}, \quad \Delta \frac{1}{r} = -4\pi \delta^{(3)}(\vec{r}). \quad (2.18)$$

Rozšíme-li integrační oblast na celý prostor a předpokládáme-li dostatečně rychlý pokles funkcí v nekonečnu, dostáváme

$$\phi(\vec{r}) = \frac{1}{4\pi\epsilon_0} \int \frac{\rho(\vec{r}')}{|\vec{r} - \vec{r}'|} d^3\vec{r}'. \quad (2.19)$$

Ve dvourozměrném případě je postup podobný. Věnujme si nejprve působení laplaceanu na funkci  $\ln r$ . Máme

$$\vec{\nabla} \ln r = \frac{\vec{r}}{r^2}, \quad \vec{\nabla} \cdot (\vec{\nabla} \ln r) = 0 \quad (2.20)$$

v-ude, kde je dobře definována, tedy s výjimkou bodu  $r=0$ . Použitím Gaussovy v ty na kružnici se středem v počátku máme

$$\int_K \vec{\nabla} \cdot (\vec{\nabla} \ln r) dS = 2\pi, \quad (2.21)$$

je tedy chování funkce  $\Delta(\ln r)$  neobvyklé. Zapisujeme je pomocí Diracovy delta funkce jako

$$\Delta \ln r = 2\pi \delta^{(2)}(\vec{r}) \quad . \quad (2.22)$$

Z Greenovy v ty potom dostáváme (pozor na podmínky v nekone nu a ōrozmm rō ln r)

$$\phi(\vec{r}) = -\frac{1}{2\pi\epsilon_0} \int \sigma(\vec{r}') \ln|\vec{r} - \vec{r}'| d^2\vec{r}' \quad . \quad (2.23)$$

## 2.4 Elektrostatická energie náboj .

Elektrostatickou energii spojitého rozlofení náboje

$$U = \frac{1}{2} \int \rho \phi dV \quad (2.24)$$

m fleme pro soustavu bodových náboj  $\rho(\vec{r}) = \sum_a e_a \delta^{(3)}(\vec{r} - \vec{r}_a)$  zdánliv snadno napsat jako d sledek prostého dosazení

$$U' = \frac{1}{2} \sum_a e_a \phi_a \quad , \quad \phi_a = \phi(\vec{r}_a) \quad . \quad (2.25)$$

Z Coulombova zákona máme

$$\phi_a = \frac{1}{4\pi\epsilon_0} \sum_b \frac{e_b}{r_{ab}} \quad , \quad r_{ab} = |\vec{r}_a - \vec{r}_b| \quad . \quad (2.26)$$

Musíme tedy vylou it p sobení pole vytvo eného daným bodovým nábojem sama na sebe, abychom mohli psát kone ný výraz pro energii

$$U = \frac{1}{8\pi\epsilon_0} \sum_{a \neq b} \frac{e_a e_b}{r_{ab}} \quad . \quad (2.27)$$

## 2.5 Multipólový rozklad pole.

### 2.5.1 Laplaceova rovnice ve sférických sou adnicích

Laplace v operátor ve sférických sou adnicích je

$$\Delta\psi = \frac{1}{r^2} \frac{\partial}{\partial r} \left( r^2 \frac{\partial\psi}{\partial r} \right) + \frac{1}{r^2 \sin\theta} \frac{\partial}{\partial \theta} \left( \sin\theta \frac{\partial\psi}{\partial \theta} \right) + \frac{1}{r^2 \sin^2\theta} \frac{\partial^2\psi}{\partial \varphi^2} \quad . \quad (2.28)$$

Separací prom nných

$$\psi(r, \theta, \varphi) = R(r) \Theta(\theta) \Phi(\varphi) \quad (2.29)$$

dojdeme ke t em oby ejným diferenciálním rovnicím

$$\begin{aligned} \frac{d^2\Phi(\varphi)}{d\varphi^2} + m^2 \Phi(\varphi) = 0 \quad , \quad \frac{d}{dr} \left( r^2 \frac{dR(r)}{dr} \right) - \lambda^2 R(r) = 0 \quad , \\ \frac{1}{\sin\theta} \frac{d}{d\theta} \left( \sin\theta \frac{d\Theta(\theta)}{d\theta} \right) + \left( \lambda^2 - \frac{m^2}{\sin^2\theta} \right) \Theta(\theta) = 0 \quad . \end{aligned} \quad (2.30)$$

Jednodu-e odvodíme, fle (pofladavek periodicity v prom nné  $\varphi$ )  $m$  musí být celé íslo a

$$\Phi_m(\varphi) = C_m \cos m \varphi + S_m \sin m \varphi \quad . \quad (2.31)$$

Dále pak zjistíme, že e-éním radiální rovnice je (konstantu píme jako  $\lambda^2 = l(l+1)$ ), aby tvar e-ení byl jednoduchý a zejména proto, aby rovnice v prom nné  $\theta$  m la e-ení ve tvaru polynom v prom nných  $\cos \theta$  a  $\sin \theta$ )

$$R_l(r) = A_l r^l + \frac{B_l}{r^{l+1}} \quad . \quad (2.32)$$

Nejobtífln j-í je rovnice pro polární úhel. Substitute  $\cos \theta = x$  vede k Legendreov rovnici

$$(1-x^2) \frac{d^2 P_l^m(x)}{dx^2} - 2x \frac{dP_l^m(x)}{dx} + \left[ l(l+1) - \frac{m^2}{1-x^2} \right] P_l^m(x) = 0 \quad , \quad (2.33)$$

která má jako regulární e-ení polynomy prom nných  $x$  a  $(1-x^2)^{1/2}$ .

## 2.5.2 Legendreovy polynomy

Snadno vidíme, že pro  $m=0$  m fleme rovnici (2.33) p epsat na

$$\frac{d}{dx} \left[ (1-x^2) \frac{dP_l(x)}{dx} \right] + l(l+1) P_l(x) = 0 \quad . \quad (2.34)$$

Integrací rozdílů rovnic pro  $l=m$  a  $l=n$  na intervalu  $(-1,1)$  dostaneme vztah

$$(m-n)(m+n+1) \int_{-1}^1 P_m(x) P_n(x) dx = 0 \quad , \quad (2.35)$$

odkud plyne ortogonalita Legendreových polynom  $P_l(x)$  na tomto intervalu. Z mnoha d leffitých vlastností Legendreových polynom uve me dv : vyjád ení polynomu pomocí Rodriguesova vzorce

$$P_l(x) = \frac{1}{l! 2^l} \frac{d^l}{dx^l} (x^2 - 1)^l \quad (2.36)$$

a výraz pro vytvá ející funkci

$$\frac{1}{(1-2xt+t^2)^{1/2}} = \sum_{l=0}^{\infty} P_l(x) t^l \quad . \quad (2.37)$$

Použitím Leibnizova pravidla

$$\frac{d^m [f(x)g(x)]}{dx^m} = \sum_{k=0}^m \frac{m!}{k!(m-k)!} \frac{d^{m-k} f(x)}{dx^{m-k}} \frac{d^k g(x)}{dx^k} \quad (2.38)$$

dostaneme  $m$  ó násobným derivováním rovnice (2.34) rovnici

$$(1-x^2) f''(x) - 2x(m+1) f'(x) + (n-m)(n+m+1) f(x) = 0 \quad , \quad (2.39)$$

kde  $f(x) = d^m P_l(x) / dx^m$ . Substituce  $f(x) = (1-x^2)^{-m/2} g(x)$  vede k tomu, že funkce  $g(x)$  musí splňovat rovnici (2.33), je tedy konečná

$$P_l^m(x) = (1-x^2)^{m/2} \frac{d^m P_l(x)}{dx^m} . \quad (2.40)$$

Využijeme-li ještě (2.36), můžeme (2.40) rozšířit i na oblast záporných  $m$ , tedy

$$P_l^m(x) = \frac{(-1)^l}{l!2^l} (1-x^2)^{m/2} \frac{d^{m+l}}{dx^{m+l}} (1-x^2)^l , \quad -l \leq m \leq l . \quad (2.41)$$

Polynomy (2.41) se nazývají pídrušené Legendreovy polynomy. Námi definované polynomy  $P_l^m(x)$  nebo  $P_l(x)$  nejsou na intervalu  $(-1,1)$  normované na jedničku. Ostatní známé drobné i v této odchylky v definicích speciálních funkcí jsou díky historickému vývoji bohužel zcela běžné.

### 2.5.3 Kulové funkce

Pomocí pídrušených Legendreových polynomů definujeme úplný ortonormální soubor kulových funkcí (tj. každou funkci úhlových proměnných ve sférických souřadnicích můžeme napsat pomocí (nekonečné)ady těchto funkcí)

$$Y_l^m(\theta, \varphi) = \sqrt{\frac{(2l+1)(l-m)!}{4\pi(l+m)!}} P_l^m(\cos\theta) \exp(im\varphi) . \quad (2.42)$$

Platí tedy

$$\int_0^{2\pi} d\varphi \int_0^\pi d\theta \sin\theta Y_l^{m_1*}(\theta, \varphi) Y_l^{m_2}(\theta, \varphi) = \delta_{l_1 l_2} \delta_{m_1 m_2} \quad (2.43)$$

a

$$f(\theta, \varphi) = \sum_{l=0}^{\infty} \sum_{m=-l}^{m=l} f_l^m Y_l^m(\theta, \varphi) , \quad f_l^m = \int_0^{2\pi} d\varphi \int_0^\pi d\theta \sin\theta f(\theta, \varphi) Y_l^{m*}(\theta, \varphi) . \quad (2.44)$$

Číslo prvních kulových funkcí je

$$\begin{aligned} Y_0^0 &= \sqrt{\frac{1}{4\pi}} \\ Y_1^{-1} &= \sqrt{\frac{3}{8\pi}} \sin\theta \exp(-i\varphi) \quad Y_1^0 = \sqrt{\frac{3}{4\pi}} \cos\theta \quad Y_1^1 = -\sqrt{\frac{3}{8\pi}} \sin\theta \exp(i\varphi) \\ Y_2^{-2} &= \sqrt{\frac{15}{32\pi}} \sin^2\theta \exp(-2i\varphi) \quad Y_2^2 = \sqrt{\frac{15}{32\pi}} \sin^2\theta \exp(2i\varphi) \\ Y_2^{-1} &= \sqrt{\frac{15}{8\pi}} \sin\theta \cos\theta \exp(-i\varphi) \quad Y_2^0 = \sqrt{\frac{5}{16\pi}} (3\cos^2\theta - 1) \quad Y_2^1 = -\sqrt{\frac{15}{8\pi}} \sin\theta \cos\theta \exp(i\varphi) \end{aligned} \quad (2.45)$$

Velmi důležitým speciálním případem rozkladu (2.44) je vztah pro Legendre v polynom obecného úhlu mezi dvěma jednotkovými vektory  $\vec{n} = (\sin \theta \cos \varphi, \sin \theta \sin \varphi, \cos \theta)$  a  $\vec{n}' = (\sin \alpha \cos \beta, \sin \alpha \sin \beta, \cos \alpha)$ , tedy

$$\cos \gamma = \vec{n} \cdot \vec{n}' = \cos \theta \cos \alpha + \sin \theta \sin \alpha \cos(\varphi - \beta) \quad ,$$

$$P_l(\cos \gamma) = \frac{4\pi}{2l+1} \sum_{m=-l}^{m=l} Y_l^{m*}(\alpha, \beta) Y_l^m(\theta, \varphi) \quad . \quad (2.46)$$

## 2.6 Pole bodových nábojů ve vakuu

Víme, že pole bodového náboje ve vakuu je dáno Coulombovým potenciálem. Je-li náboj  $q$  umístěn mimo póly souadnic soustavy, například na ose  $z$  (v bodě  $z=R$ ), je tento potenciál dán vztahem

$$\phi = \frac{q}{4\pi \epsilon_0} \frac{1}{[x^2 + y^2 + (z-R)^2]^{1/2}} = \frac{q}{4\pi \epsilon_0} \frac{1}{[r^2 + R^2 - 2rR \cos \theta]^{1/2}} \quad . \quad (2.47)$$

Vztah (2.37) nám umožní zapsat potenciál (2.47) ve tvaru multipólového rozkladu

$$\phi = \frac{q}{4\pi \epsilon_0 R} \sum_{l=0}^{\infty} P_l(\cos \theta) \left(\frac{r}{R}\right)^l \quad , \quad r \leq R \quad ,$$

$$\phi = \frac{q}{4\pi \epsilon_0 r} \sum_{l=0}^{\infty} P_l(\cos \theta) \left(\frac{R}{r}\right)^l \quad , \quad r \geq R \quad . \quad (2.48)$$

Pro  $r \gg R$  převažuje první součinná (vzhledem k poloze náboje) složka  $l=0$ . Umístíme-li však náboj opačné velikosti do  $z=-R$ , vyruší se identické příspěvky  $l=0$  a pro  $r \gg R$  převažuje pak dipólová složka ( $l=1$ )

$$\phi_{dip} \approx \frac{2qR}{4\pi \epsilon_0} \frac{P_1(\cos \theta)}{r^2} = \frac{D}{4\pi \epsilon_0} \frac{\cos \theta}{r^2} \quad , \quad (2.49)$$

kde  $D=2qR$  označuje dipólový moment. Podobně, umístíme-li v rovině  $z=0$  náboje  $q$  ve vzdálenosti  $R$  od pólu na osu  $x$  a náboje  $-q$  ve vzdálenosti  $R$  od pólu na osu  $y$ , vyruší se identické příspěvky  $l=0$  a  $l=1$  (při výpočtu využíváme (2.46)) a pro  $r \gg R$  převažuje pak kvadrupólová složka ( $l=2$ )

$$\phi_{quad} \approx -\frac{2qR^2}{4\pi \epsilon_0} \frac{P_2(\cos \theta)}{r^3} = \frac{Q}{4\pi \epsilon_0} \frac{1-3\cos^2 \theta}{r^3} \quad , \quad (2.50)$$

kde  $Q=qR^2$  je kvadrupólový moment.



## 2.7 Dielektrická koule v homogenním poli

Pro vodivě nekonečně homogenní prostředí s dielektrickou konstantou  $\varepsilon_1$  s intenzitou elektrického pole  $\vec{E} = -E\vec{e}_z$  je porušeno umístěním koule se středem v počátku a poloměrem  $R$ . Koule má dielektrickou konstantu  $\varepsilon_2$ . Pro popis výsledného pole bude stačit dipólový člen elektrostatického potenciálu

$$\Phi = \left( Ar + \frac{B}{r^2} \right) \cos\theta \quad . \quad (2.51)$$

Podmínky spojitosti na povrchu koule pro tangenciální složky intenzity  $E_t = E_\theta$  a normálové složky indukce  $D_n = \varepsilon E_r$  vedou pro

$$E_t = -\frac{1}{r} \frac{\partial \Phi}{\partial \theta} \quad , \quad D_n = -\varepsilon \frac{\partial \Phi}{\partial r}$$

k rovnicím

$$\begin{aligned} \left( A_1 + \frac{B_1}{R^3} \right) \sin\theta &= \left( A_2 + \frac{B_2}{R^3} \right) \sin\theta \quad , \\ -\varepsilon_1 \left( A_1 - \frac{2B_1}{R^3} \right) \cos\theta &= -\varepsilon_2 \left( A_2 - \frac{2B_2}{R^3} \right) \cos\theta \quad . \end{aligned} \quad (2.52)$$

Pole v nekonečnu musí nabývat pevných hodnot, je tedy  $A_1 = E$ . Pole v počátku musí být konečné, a to vyžaduje  $B_2 = 0$ . Zbývající rovnice pro  $B_1$  a  $A_2$  snadno vyřešíme, takže máme

$$\Phi = \begin{cases} \left( 1 + \frac{\varepsilon_1 - \varepsilon_2}{2\varepsilon_1 + \varepsilon_2} \right) E r \cos\theta & 0 \leq r \leq R \\ \left( 1 + \frac{\varepsilon_1 - \varepsilon_2}{2\varepsilon_1 + \varepsilon_2} \frac{R^3}{r^3} \right) E r \cos\theta & R \leq r < \infty \end{cases} \quad . \quad (2.53)$$

Zapíšeme tedy předchozí výsledek v obecnějším tvaru

$$\Phi_1 = -\vec{E} \cdot \vec{r} + A \frac{\vec{E} \cdot \vec{r}}{r^3} \quad , \quad \Phi_2 = -B \vec{E} \cdot \vec{r} \quad . \quad (2.54)$$

Vyloučením konstanty  $A$  pomocí podmínek na rozhraní vede ke vztahu

$$\vec{D}_2 = \varepsilon_1 \varepsilon_0 (3\vec{E} - 2\vec{E}_2) \quad . \quad (2.55)$$

Protože se v tomto vztahu nevyskytuje dielektrická konstanta  $\varepsilon_2$ , platí tento vztah nejen pro libovolné prostředí koule, nejen tedy pro lineární a izotropní.

### 3. Magnetostatika

#### 3.1 Analogie mezi elektrostatikou a magnetostatikou

Vid li jsme, že v rovnici Poissonovy rovnice (2.6) v elektrostatice je potenciál (2.19)

$$\phi(\vec{r}) = \frac{1}{4\pi\epsilon_0} \int \frac{\rho(\vec{r}')}{|\vec{r} - \vec{r}'|} d^3\vec{r}' \quad (3.1)$$

a tedy intenzita

$$\vec{E}(\vec{r}) = \frac{1}{4\pi\epsilon_0} \int \rho(\vec{r}') \frac{\vec{r} - \vec{r}'}{|\vec{r} - \vec{r}'|^3} d^3\vec{r}' \quad (3.2)$$

v magnetostatice základní rovnice magnetostatiky (volíme kalibraci  $\vec{\nabla} \cdot \vec{A} = 0$ )

$$\Delta \vec{A} = -\mu_0 \vec{j} \quad (3.3)$$

je analogicky

$$\vec{A}(\vec{r}) = \frac{\mu_0}{4\pi} \int \frac{\vec{j}(\vec{r}')}{|\vec{r} - \vec{r}'|} d^3\vec{r}' \quad (3.4)$$

Pro magnetickou indukci pak je

$$\vec{B}(\vec{r}) = \frac{\mu_0}{4\pi} \int \frac{\vec{j}(\vec{r}') \times (\vec{r} - \vec{r}')}{|\vec{r} - \vec{r}'|^3} d^3\vec{r}' \quad (3.5)$$

Pro bodový náboj napíšeme  $\rho(\vec{r}') d^3\vec{r}' = e \delta^{(3)}(\vec{r}' - \vec{r}_0) d^3\vec{r}'$  a z obecného vztahu (3.2) dostáváme Coulombovo pole

$$\vec{E}(\vec{r}) = \frac{e}{4\pi\epsilon_0} \frac{\vec{r} - \vec{r}_0}{|\vec{r} - \vec{r}_0|^3} \quad (3.6)$$

Obdobně pro lineární vodič napíšeme  $\vec{j}(\vec{r}') d^3\vec{r}' = J \delta^{(2)}(\vec{r}'_{\perp} - \vec{r}_0) d^2\vec{r}'_{\perp} d\vec{r}'_{\parallel}$  a z obecného vztahu (3.5) dostáváme Biotovo a Savartovo pole

$$\vec{B}(\vec{r}) = \frac{\mu_0 J}{4\pi} \int \frac{d\vec{r}'_{\parallel} \times (\vec{r} - \vec{r}_0)}{|\vec{r} - \vec{r}_0|^3} \quad (3.7)$$

Gaussova vta

$$\int_V \vec{\nabla} \cdot \vec{E} dV = \oint_S \vec{E} \cdot \vec{n} dS = \int_V \frac{\rho}{\epsilon_0} dV = \frac{Q}{\epsilon_0} \quad (3.8)$$

má analogii v Ampérov zákonu

$$\int_S (\vec{\nabla} \times \vec{B}) \cdot \vec{n} dS = \oint_{\ell} \vec{B} \cdot \vec{t} d\ell = \mu_0 \int_S \vec{j} \cdot \vec{n} dS = \mu_0 J \quad . \quad (3.9)$$

### 3.2 Magnetické pole kruhové smyky

Do vztahu pro vektorový potenciál (3.4) dosadíme za proudovou hustotu  $\vec{j}(\vec{r}') d^3\vec{r}' = J \delta(\rho' - a) \delta(z') \vec{e}_\varphi \rho' d\rho' dz' d\varphi'$ , kde  $\vec{e}_\varphi = -\sin(\varphi' - \varphi) \vec{e}_\rho + \cos(\varphi' - \varphi) \vec{e}_\varphi$ , a dostaneme

$$\vec{A}(\rho, z) = A_\varphi(\rho, z) \vec{e}_\varphi \quad , \quad A_\varphi(\rho, z) = \frac{\mu_0 J}{2\pi} \int_0^\pi \frac{a \cos \varphi d\varphi}{(a^2 + \rho^2 + z^2 - 2a\rho \cos \varphi)^{3/2}} \quad , \quad (3.10)$$

$$A_\varphi(\rho, z) = \frac{\mu_0 J}{\pi k} \left( \frac{a}{\rho} \right)^{1/2} \left[ \left( 1 - \frac{k^2}{2} \right) K(k) - E(k) \right] \quad , \quad k^2 = \frac{4a\rho}{(a+\rho)^2 + z^2}$$

a  $K(k)$  resp.  $E(k)$  jsou eliptické integrály

$$K(k) = \int_0^{\pi/2} \frac{d\xi}{\sqrt{1 - k^2 \sin^2 \xi}} \quad , \quad E(k) = \int_0^{\pi/2} \sqrt{1 - k^2 \sin^2 \xi} d\xi \quad . \quad (3.11)$$

Přivypočetnění indukce potřebujeme derivace eliptických integrál (výrazy získáme vhodnými úpravami integrand derivovaných výrazů)

$$\frac{\partial E(k)}{\partial k} = \frac{E(k) - K(k)}{k} \quad , \quad \frac{\partial K(k)}{\partial k} = \frac{E(k)}{k(1 - k^2)} - \frac{K(k)}{k} \quad . \quad (3.12)$$

Potom máme pro složky indukce (azimutální složka je  $B_\varphi = 0$ )

$$B_\rho(\rho, z) = -\frac{\partial A_\varphi}{\partial z} = \frac{\mu_0 J}{2\pi} \frac{z}{\rho \sqrt{(a+\rho)^2 + z^2}} \left[ -K(k) + \frac{a^2 + \rho^2 + z^2}{(a-\rho)^2 + z^2} E(k) \right] \quad , \quad (3.13)$$

$$B_z(\rho, z) = \frac{1}{\rho} \frac{\partial \rho A_\varphi}{\partial \rho} = \frac{\mu_0 J}{2\pi} \frac{1}{\sqrt{(a+\rho)^2 + z^2}} \left[ K(k) + \frac{a^2 - \rho^2 - z^2}{(a-\rho)^2 + z^2} E(k) \right] \quad . \quad (3.14)$$

Z definice (3.11) máme pro malé hodnoty  $k^2$

$$K(k) \doteq \frac{\pi}{2} \left( 1 + \frac{k^2}{4} \right) \quad , \quad E(k) \doteq \frac{\pi}{2} \left( 1 - \frac{k^2}{4} \right) \quad , \quad (3.15)$$

takže pro pole na ose dostáváme známé výrazy (které by ovšem bylo odvodit snadnější)

$$B_\rho(\rho=0, z) = 0 \quad , \quad B_z(\rho=0, z) = \frac{\mu_0 J a^2}{2(a^2 + z^2)^{3/2}} \quad . \quad (3.16)$$

Poznámka: Perioda matematického kyvadla délky  $l$  s maximální úhlovou výchylkou  $\varphi_{\max}$  je dána výrazem

$$T = 4\sqrt{\frac{l}{g}} K\left(\sin\frac{\varphi_0}{2}\right) = 2\pi\sqrt{\frac{l}{g}}\left(1 + \frac{\varphi_0^2}{4} + \dots\right) . \quad (3.17)$$

## 4. Kvasistacionární pole.

### 4.1 Skin-efekt.

Maxwellovy rovnice v p íblížení kvasistacionárního pole<sup>7</sup>

$$\begin{aligned} \vec{\nabla} \cdot \vec{E} &= 0 \quad , \quad \vec{\nabla} \times \vec{E} = -\frac{\partial \vec{B}}{\partial t} \quad , \\ \vec{\nabla} \times \vec{B} &= \mu_0 \sigma \vec{E} \quad , \quad \vec{\nabla} \cdot \vec{B} = 0 \quad . \end{aligned} \quad (4.1)$$

vedou na

$$\Delta \vec{E} = \mu_0 \sigma \frac{\partial \vec{E}}{\partial t} \quad , \quad -\frac{\partial \vec{B}}{\partial t} = \vec{\nabla} \times \vec{E} \quad . \quad (4.2)$$

Uvaflujme nekone ný p ímý drát kruhového pr ezu. V d sledku symetrie má elektrické i magnetické pole jedinou sloflku

$$\vec{E} = E(r) \exp\{-i\omega t\} \vec{e}_z \quad , \quad \vec{B} = B(r) \exp\{-i\omega t\} \vec{e}_\varphi \quad (4.3)$$

a máme tedy

$$\frac{1}{r} \frac{d}{dr} \left( r \frac{dE}{dr} \right) + k^2 E = 0 \quad , \quad i\omega B = -\frac{dE}{dr} \quad , \quad (4.4)$$

kde jsme ozna ili

$$k = \frac{\sqrt{2i}}{\delta} = \frac{1+i}{\delta} \quad , \quad \delta = \sqrt{\frac{2}{\mu_0 \omega \sigma}} \quad . \quad (4.5)$$

e-ními rovnic (4.4) kone nými na ose jsou

$$E(r) = K J_0(kr) \quad , \quad B(r) = -i \frac{k}{\omega} K J_1(kr) \quad . \quad (4.6)$$

Konstantu úm rnosti  $K$  získáme pomocí jedné nebo druhé následující podmínky (proud protékající drátem má danou hodnotu resp. tok magnetického pole plochou protínanou drátem musí mít danou hodnotu)

---

<sup>7</sup> Následující vztah m íme chápat jako definici p íblížení kvasistacionárního pole: u proud í uvaflujeme pouze proud daný Ohmovým zákonem.

$$2\pi\sigma\int_0^R E(r)r dr = I \quad , \quad 2\pi R B(R) = \mu_0 I \quad . \quad (4.7)$$

Máme tedy uvnitř vodiče

$$E(r) = \frac{I}{\sigma\pi R^2} \frac{kR J_0(kr)}{2J_1(kR)} \quad , \quad B(r) = \frac{\mu_0 I}{2\pi R} \frac{J_1(kr)}{J_1(kR)} \quad . \quad (4.8)$$

Pro malé hodnoty frekvence je

$$E(r) \approx \frac{I}{\sigma\pi R^2} \quad , \quad B(r) \approx \frac{\mu_0 I}{2\pi R} \frac{r}{R} \quad , \quad (4.9)$$

zatímco pro velké hodnoty máme v blízkosti  $r \approx R$

$$\vec{E} \approx \frac{I}{\sqrt{2}\pi\sigma R\delta} \left(\frac{R}{r}\right)^{1/2} \exp\left\{-\frac{R-r}{\delta}\right\} \exp\left\{i\left(\frac{R-r}{\delta} - \frac{\pi}{4} - \omega t\right)\right\} \vec{e}_z \quad , \quad (4.10)$$

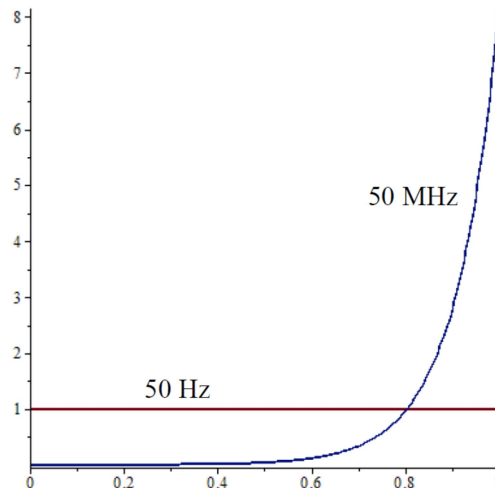
$$\vec{B} \approx \frac{\mu_0 I}{2\pi R} \left(\frac{R}{r}\right)^{1/2} \exp\left\{-\frac{R-r}{\delta}\right\} \exp\left\{i\left(\frac{R-r}{\delta} - \omega t\right)\right\} \vec{e}_\phi \quad .$$

Vztahy (4.9) získáváme užitím pouze prvního členu v rozvoji Besselových funkcí

$$J_0(z) \approx 1 \quad , \quad J_1(z) \approx z \quad , \quad (4.11)$$

vztahy (4.10) pak získáváme z asymptotického rozvoje Besselových funkcí

$$J_\nu(z) \approx \left(\frac{2}{\pi z}\right)^{1/2} \cos\left[z - \left(\nu + \frac{1}{2}\right)\frac{\pi}{2}\right] \quad . \quad (4.12)$$



Pro obě relativní hodnoty hustoty proudu pro měděný drát poloměru 1 mm se specifickým odporem  $1/\sigma = 1,555 \cdot 10^{-8} \Omega \text{m}$  při dvou různých frekvencích ( $f = 50 \text{Hz}$  a  $f = 50 \text{MHz}$ ) je ukázán na obrázku. Je vidět, že při sílové frekvenci je skin-efekt zanedbatelný.

## 4.2 Vzájemná indukčnost a vlastní indukčnost.

Uvažujme dvě geometricky pevné cívky s proměnným proudem v cívce 2. Indukované napětí v cívce 1 vyvolané změnou pole buzeného cívkou 2 je<sup>8</sup>

$$U_1 = -\frac{\partial}{\partial t} \int_{(1)} \vec{B}_2 \cdot \vec{n}_1 dS_1, \quad \int_{(1)} \vec{B}_2 \cdot \vec{n}_1 dS_1 = \oint_{(1)} \vec{A}_2 \cdot d\vec{\ell}_1, \quad \vec{A}_2 = \frac{\mu_0 I_2}{4\pi} \oint_{(2)} \frac{d\vec{\ell}_2}{r_{12}}. \quad (4.13)$$

Po dosazení dostáváme

$$U_1 = M_{12} \frac{dI_2}{dt}, \quad M_{12} = -\frac{\mu_0}{4\pi} \oint_{(1)} \oint_{(2)} \frac{d\vec{\ell}_2 \cdot d\vec{\ell}_1}{|\vec{r}_1 - \vec{r}_2|}. \quad (4.14)$$

Pokud by tekla proměnný proud cívkou 1, bylo by indukované napětí v cívce 2

$$U_2 = M_{21} \frac{dI_1}{dt}, \quad M_{21} = M_{12} = M. \quad (4.15)$$

Ale také změna magnetického toku cívkou 1 vytvoří indukované napětí v této cívce, stejně platí pro cívku 2. Obecně tedy můžeme psát

$$U_1 = -L_1 \frac{dI_1}{dt} + M \frac{dI_2}{dt}, \quad U_2 = M \frac{dI_1}{dt} - L_2 \frac{dI_2}{dt}. \quad (4.16)$$

změna energie magnetického pole je rovna záporné vzaté práci

$$\frac{dW}{dt} = -U_1 I_1 - U_2 I_2 = L_1 I_1 \frac{dI_1}{dt} + L_2 I_2 \frac{dI_2}{dt} - M \left( I_1 \frac{dI_2}{dt} + I_2 \frac{dI_1}{dt} \right), \quad (4.17)$$

takže pro energii magnetického pole je

$$W = \frac{1}{2} L_1 I_1^2 + \frac{1}{2} L_2 I_2^2 - M I_1 I_2, \quad L_1 L_2 \geq M^2. \quad (4.18)$$

Energii magnetického pole máme ovšem také vyjádřit jako

$$W = \frac{1}{2} \int_V \vec{B} \cdot \vec{H} dV = \frac{1}{2} \int_V \vec{j} \cdot \vec{A} dV. \quad (4.19)$$

Při odvození rovnosti obou výrazů v (4.19) je postupně využito vztah

$$\vec{B} = \nabla \times \vec{A}, \quad \vec{H} \cdot (\nabla \times \vec{A}) - \vec{A} \cdot (\nabla \times \vec{H}) = \nabla \cdot (\vec{A} \times \vec{H}), \quad \nabla \times \vec{H} = \vec{j}. \quad (4.20)$$

Vztahu pro energii využijeme pro výpočet vlastní indukčnosti

<sup>8</sup> Poznámka: normála k ploše je dána pravidlem pravé ruky, tedy ve směru vektorového součinu tečny a vnitřní normály k orientované (proti směru hodinových ručiček) uzavřené ploše.

$$L = \frac{1}{\mu_0 I^2} \int_V B^2 dV \quad . \quad (4.21)$$

Uvaflujme dví cívky ve tvaru solenoidu každou o  $N$  závitů a s délkou  $\ell$ . Průřez cívek je  $S$  a jejich délka  $\ell$ . Pole první a druhé cívky jsou tedy přibližně  $B_1 \approx \mu_0 N I_1 / \ell$ ,  $B_2 \approx \mu_0 N I_2 / \ell$  a pro indukčnosti máme  $L_1 \approx L_2 \approx M \approx \mu_0 N^2 S / \ell$ . Pro energii magnetického pole pak

$$W \approx \frac{\mu_0 N^2 S}{2\ell} (I_1 + I_2)^2 \quad . \quad (4.22)$$

### 4.3 Komplexní odpor

Pro obvod s odporem, kondenzátorem a indukčností v sériovém zapojení máme

$$U = RI + \frac{Q}{C} + L \frac{dI}{dt} \quad , \quad I = \frac{dQ}{dt} \quad , \quad (4.23)$$

tedy pro harmonický průběh

$$U = U_0 \exp\{-i\omega t\} \quad , \quad I = I_0 \exp\{-i\omega t\} \quad (4.24)$$

dostáváme vztah

$$U = ZI \quad , \quad Z = R - i \left( \omega L - \frac{1}{\omega C} \right) \quad . \quad (4.25)$$

Vezmeme-li reálnou část (4.25), dostáváme

$$I = \frac{U_0 \cos(\omega t - \varphi)}{\sqrt{R^2 + \left( \omega L - \frac{1}{\omega C} \right)^2}} \quad , \quad \text{tg } \varphi = \frac{\omega L}{R} - \frac{1}{\omega RC} \quad . \quad (4.26)$$

Pro soustavu induktivně vázaných obvodů má zobecněná rovnice (4.23) tvar

$$U_a = R_a I_a + \frac{Q_a}{C_a} + \sum_b L_{ab} \frac{dI_b}{dt} \quad , \quad I_a = \frac{dQ_a}{dt} \quad , \quad (4.27)$$

kteřý pro periodické  $d$  je dává

$$U_a = \sum_b Z_{ab} I_b \quad , \quad Z_{ab} = \left( R_a + \frac{i}{\omega C_a} \right) \delta_{ab} - i\omega L_{ab} \quad . \quad (4.28)$$

Vlastní frekvence dostaneme z podmínky  $\det(Z_{ab}) = 0$ , tedy

$$\det(Z_{ab}) = 0 \quad . \quad (4.29)$$

Rovnice (4.27) lze formálně získat dosazením lagrangeánu  $\mathcal{L}$  a disipativní funkce  $\mathcal{R}$

$$\mathcal{L} = \sum_{a,b} \frac{1}{2} L_{ab} \frac{dQ_a}{dt} \frac{dQ_b}{dt} - \sum_a \frac{1}{2} \frac{Q_a^2}{C_a} + \sum_a Q_a U_a \quad , \quad \mathcal{R} = \sum_a \frac{1}{2} R_a \left( \frac{dQ_a}{dt} \right)^2 \quad (4.30)$$

do obecného vztahu

$$\frac{d}{dt} \frac{\partial \mathcal{L}}{\partial \frac{dQ_a}{dt}} - \frac{\partial \mathcal{L}}{\partial Q_a} = - \frac{\partial \mathcal{R}}{\partial \frac{dQ_a}{dt}} \quad . \quad (4.31)$$

Jde tedy o analogii k souboru tlumených harmonických oscilátorů buzených vn j-í silou.

## 5. Maxwellovy rovnice v materiálovém prostředí

### 5.1 Mikroskopické Maxwellovy rovnice

Náboje a proudy rozdělíme na ty, kterou jsou vázané na prostředí a na vn j-í náboje a proudy. Mikroskopické Maxwellovy rovnice v materiálovém prostředí tedy budou

$$\begin{aligned} \vec{\nabla} \cdot \vec{e} &= \frac{\rho + \rho_{ext}}{\epsilon_0} \quad , \quad \vec{\nabla} \times \vec{e} = - \frac{\partial \vec{h}}{\partial t} \quad , \\ \frac{1}{\mu_0} \vec{\nabla} \times \vec{h} &= \epsilon_0 \frac{\partial \vec{e}}{\partial t} + \rho \vec{v} + \vec{j}_{ext} \quad , \quad \vec{\nabla} \cdot \vec{h} = 0 \quad . \end{aligned} \quad (5.1)$$

Vytvoříme střední hodnoty<sup>9</sup> a dostaneme

$$\begin{aligned} \vec{\nabla} \cdot \vec{E} &= \frac{\langle \rho \rangle + \rho_{ext}}{\epsilon_0} \quad , \quad \vec{\nabla} \times \vec{E} = - \frac{\partial \vec{B}}{\partial t} \quad , \\ \frac{1}{\mu_0} \vec{\nabla} \times \vec{B} &= \epsilon_0 \frac{\partial \vec{E}}{\partial t} + \langle \rho \vec{v} \rangle + \vec{j}_{ext} \quad , \quad \vec{\nabla} \cdot \vec{B} = 0 \quad , \end{aligned} \quad (5.2)$$

kde jsme označili

$$\langle \vec{e} \rangle = \vec{E} \quad , \quad \langle \vec{h} \rangle = \vec{B} \quad . \quad (5.3)$$

Celkový náboj vázaný na prostředí, plně uzavřené uvnitř oblasti  $V$  je roven nule

$$\int_V \langle \rho \rangle dV = 0 \quad \Rightarrow \quad \langle \rho \rangle = - \vec{\nabla} \cdot \vec{P} \quad , \quad (5.4)$$

přičemž  $\vec{P} = 0$  vn materiálu. Potom je totíže z Gaussovy vztah nulovost celkového náboje zaručena

$$\int_V \langle \rho \rangle dV = - \int_V \vec{\nabla} \cdot \vec{P} dV = \int_S \vec{P} \cdot \vec{n} dS = 0 \quad . \quad (5.5)$$

<sup>9</sup> Je to obdoba situace v mechanice kontinuity: středujeme přes malý objem, který sice obsahuje dostatek atomů i molekul pro vyhlazení mikroskopických fluktuací, ale stále je jich málo z makroskopického hlediska považovat za šedobílé prostředí.



Uvažujme dipólový moment

$$\int_V \vec{r} \langle \rho \rangle dV = - \int_V \vec{r} (\vec{\nabla} \cdot \vec{P}) dV = - \int_S \vec{r} (\vec{n} \cdot \vec{P}) dS + \int_V (\vec{P} \cdot \vec{\nabla}) \vec{r} dV = \int_V \vec{P} dV \quad . \quad (5.6)$$

Zavedeme-li vektor indukce elektrického pole  $\vec{D} = \epsilon_0 \vec{E} + \vec{P}$ , odvodili jsme již rovnici

$$\operatorname{div} \vec{D} = \rho_{ext} \quad . \quad (5.7)$$

Prove me nyní ez materiálem tak, aby byl pln uzav en uvnit n jaké plochy  $S$ . Celkový proud touto plochou vázaný na prost edí je dán celkovou hodnotou asové zm ny pr m tu vektoru polarizace

$$\int_S \langle \rho \vec{v} \rangle \cdot \vec{n} dS = \int_S \frac{\partial \vec{P}}{\partial t} \cdot \vec{n} dS \Rightarrow \langle \rho \vec{v} \rangle = \vec{\nabla} \times \vec{M} + \frac{\partial \vec{P}}{\partial t} \quad , \quad (5.8)$$

p i emfl  $\vec{M} = 0$  vn materiálu. P i této volb je pr m rná hodnota proudu ezem rovna nule:

$$\begin{aligned} \lim_{T \rightarrow \infty} \frac{1}{T} \int_0^T \int_S \left( \vec{\nabla} \times \vec{M} + \frac{\partial \vec{P}}{\partial t} \right) \cdot \vec{n} dS dt = \\ \lim_{T \rightarrow \infty} \frac{1}{T} \left\{ \int_0^T \int_\ell \vec{M} \cdot d\vec{\ell} dt + \int_S [\vec{P}(T) - \vec{P}(0)] \cdot \vec{n} dS \right\} = 0 \quad . \end{aligned} \quad (5.9)$$

Uvažujme magnetický moment

$$\begin{aligned} \frac{1}{2} \int_V \vec{r} \times \langle \rho \vec{v} \rangle dV &= \frac{1}{2} \int_V \vec{r} \times (\vec{\nabla} \times \vec{M}) dV = \\ &= \frac{1}{2} \int_S \vec{r} \times (\vec{n} \times \vec{M}) dS - \frac{1}{2} \int_V (\vec{M} \times \vec{\nabla}) \times \vec{r} dV = \int_V \vec{M} dV \quad . \end{aligned} \quad (5.10)$$

St ední hodnotu  $\langle \rho \vec{v} \rangle$  m feme vyjád it také následujícím zp sobem: derivujeme rovnici (5.7) parciáln podle asu a s využitím rovnice kontinuity pro vn j-í náboje dostáváme

$$\operatorname{div} \left( \frac{\partial \vec{D}}{\partial t} + \vec{j}_{ext} \right) = 0 \Rightarrow \frac{\partial \vec{D}}{\partial t} + \vec{j}_{ext} = \operatorname{rot} \vec{H} \quad , \quad (5.11)$$

kde  $\vec{H}$  je (zatím neur ený) vektor intenzity magnetického pole. Dosazením za  $\vec{j}_{ext}$  do (5.2) pak máme

$$\langle \rho \vec{v} \rangle = \frac{1}{\mu_0} \operatorname{rot} \vec{M} + \frac{\partial \vec{P}}{\partial t} \quad , \quad (5.12)$$

kde jsme ozna ili  $\vec{M} = \vec{B} - \mu_0 \vec{H}$ . Definice vektor polarizace  $\vec{P}$  a magnetizace  $\vec{M}$  pomocí moment je d lefitá pro jednozna nost, jinak by vyhovovaly také  $\vec{P} + \vec{\nabla} \times \vec{f}$  a  $\vec{M} + \vec{\nabla} f$ . Pov-ímn me si, fle spojení rovnic (5.4) a (5.8) dává rovnici kontinuity i pro vnit ní náboje

$$\frac{\partial \langle \rho \rangle}{\partial t} + \vec{\nabla} \cdot \langle \rho \vec{v} \rangle = 0 \quad . \quad (5.13)$$

Vynecháme-li te indexy *šextõ* u vn j-ích náboj , dostáváme kone ný tvar Maxwellových rovnic (1.4)

$$\begin{aligned} \vec{\nabla} \cdot \vec{B} = 0 \quad , \quad \vec{\nabla} \times \vec{E} = - \frac{\partial \vec{B}}{\partial t} \quad , \\ \vec{\nabla} \cdot \vec{D} = \rho \quad , \quad \vec{\nabla} \times \vec{H} = \frac{\partial \vec{D}}{\partial t} + \vec{j} \quad . \end{aligned} \quad (5.14)$$

Materiálové vztahy jsou pak

$$\vec{D} = \varepsilon_0 \vec{E} + \vec{P} \quad , \quad \vec{H} = \frac{1}{\mu_0} (\vec{B} - \vec{M}) \quad . \quad (5.15)$$

V kovových materiálech pokládáme

$$\vec{j} = \sigma \vec{E} \quad . \quad (5.16)$$

## 5.2 Maxwellovy rovnice pro prost edí s triviálními materiálovými vztahy

V homogenním izotropním lineárním prost edí bez disperse máme jednoduché materiálové vztahy

$$\vec{D} = \varepsilon_r \varepsilon_0 \vec{E} \quad , \quad \vec{H} = \frac{1}{\mu_r \mu_0} \vec{B} \quad . \quad (5.17)$$

Zavedeme-li pro popis elektromagnetického pole vektorový a skalární potenciál

$$\vec{B} = \vec{\nabla} \times \vec{A} \quad , \quad \vec{E} = -\vec{\nabla} \phi - \frac{\partial \vec{A}}{\partial t} \quad , \quad (5.18)$$

máme po dosazení do Maxwellových rovnic

$$\begin{aligned} \Delta \phi + \frac{\partial}{\partial t} \vec{\nabla} \cdot \vec{A} = - \frac{\rho}{\varepsilon_r \varepsilon_0} \quad , \\ \Delta \vec{A} - \varepsilon_r \mu_r \varepsilon_0 \mu_0 \frac{\partial^2 \vec{A}}{\partial t^2} - \vec{\nabla} \left( \vec{\nabla} \cdot \vec{A} + \varepsilon_r \mu_r \varepsilon_0 \mu_0 \frac{\partial \phi}{\partial t} \right) = -\mu_r \mu_0 \vec{j} \quad . \end{aligned} \quad (5.19)$$

S vyuffitím kalibra ní transformace

$$\vec{A} \rightarrow \vec{A} + \vec{\nabla} \psi \quad , \quad \phi \rightarrow \phi - \frac{\partial \psi}{\partial t} \quad (5.20)$$

m fleme mít

$$\vec{\nabla} \cdot \vec{A} + \varepsilon_r \mu_r \varepsilon_0 \mu_0 \frac{\partial \phi}{\partial t} = 0 \quad (5.21)$$

a dostáváme tak pro potenciály nehomogenní vlnovou rovnici

$$\begin{aligned}\Delta\phi - \frac{n^2}{c^2} \frac{\partial^2 \phi}{\partial t^2} &= -\frac{\rho}{\epsilon_r \epsilon_0} \quad , \\ \Delta \vec{A} - \frac{n^2}{c^2} \frac{\partial^2 \vec{A}}{\partial t^2} &= -\mu_r \mu_0 \vec{j} \quad .\end{aligned}\tag{5.22}$$

Označíme rychlost světla ve vakuu  $c$  a index lomu  $n$

$$c = \frac{1}{\sqrt{\epsilon_0 \mu_0}} \quad , \quad n^2 = \epsilon_r \mu_r \quad .\tag{5.23}$$

## 6. Rovinná a kulová elektromagnetická pole ve vakuu

### 6.1 Rovinná a kulová vlna

Vlnová rovnice v jednorozměrném případě a vlnová rovnice pro sféricky symetrické e-ění v trojrozměrném případě jsou

$$\begin{aligned}\frac{\partial^2 \psi(x,t)}{\partial x^2} - \frac{1}{c^2} \frac{\partial^2 \psi(x,t)}{\partial t^2} &= 0 \quad , \\ \frac{1}{r^2} \frac{\partial}{\partial r} \left[ r^2 \frac{\partial \psi(r,t)}{\partial r} \right] - \frac{1}{c^2} \frac{\partial^2 \psi(r,t)}{\partial t^2} &= 0 \quad .\end{aligned}\tag{6.1}$$

Obecné e-ění těchto rovnic je

$$\begin{aligned}\psi(x,t) &= f\left(t - \frac{x}{c}\right) + g\left(t + \frac{x}{c}\right) \quad , \\ \psi(r,t) &= \frac{1}{r} f\left(t - \frac{r}{c}\right) + \frac{1}{r} g\left(t + \frac{r}{c}\right) \quad .\end{aligned}\tag{6.2}$$

Vhodnou volbou funkcí  $f$  a  $g$  dostaneme rovinnou vlnu jdoucí ve směru nebo proti směru osy  $x$  respektive rozbíhavou nebo sbíhavou kulovou vlnu

$$\psi(x,t) = A \exp\left[i\omega\left(t \mp \frac{x}{c}\right)\right] \quad , \quad \psi(r,t) = \frac{A}{r} \exp\left[i\omega\left(t \mp \frac{r}{c}\right)\right] \quad .\tag{6.3}$$

### 6.2 Obecné e-ění nehomogenní rovnice pro potenciály

První e-ění z e-ění (6.2) se sférickou symetrií je velmi důležitá, neboť nám umožní zapsat obecné potenciály, způsobené zadaným rozložením náboje a proudu. Předpokládáme si, že platí

$$\Delta \frac{1}{r} = -4\pi \delta^{(3)}(\vec{r}) \quad .\tag{6.4}$$

Obecné e-ění nehomogenních rovnic pro potenciály

$$\Delta\phi - \frac{1}{c^2} \frac{\partial^2 \phi}{\partial t^2} = -\frac{\rho}{\epsilon_0} \quad , \quad (6.5)$$

$$\Delta \vec{A} - \frac{1}{c^2} \frac{\partial^2 \vec{A}}{\partial t^2} = -\mu_0 \vec{j}$$

m fime tedy získat jako

$$\phi(\vec{r}_1, t) = \frac{1}{4\pi\epsilon_0} \int \frac{\rho\left(\vec{r}_2, t - \frac{r_{12}}{c}\right)}{r_{12}} d^3\vec{r}_2 \quad (6.6)$$

a

$$\vec{A}(\vec{r}_1, t) = \frac{\mu_0}{4\pi} \int \frac{\vec{j}\left(\vec{r}_2, t - \frac{r_{12}}{c}\right)}{r_{12}} d^3\vec{r}_2 \quad , \quad (6.7)$$

kde  $r_{12} = |\vec{r}_1 - \vec{r}_2|$ . Po derivování a integraci dá itatel integrandu pravou stranu nehomogenní rovnice, jmenovatel je funkce, která je e-ením homogenní vlnové rovnice.

### 6.3 Pole asov prom nného dipólu

Uvaflujme v-echny náboje soust ed ny kolem po átku sou adnic. Pak m fime pro vektorový potenciál psát

$$\vec{A}(\vec{r}, t) \approx \frac{\mu_0}{4\pi r} \int \vec{j}\left(\vec{r}', t - \frac{r}{c}\right) d^3\vec{r}' = \frac{\mu_0}{4\pi r} \sum_a e_a \vec{v}_a\left(t - \frac{r}{c}\right) \quad (6.8)$$

neboli

$$\vec{A}(\vec{r}, t) \approx \frac{\mu_0}{4\pi r} \frac{\partial}{\partial t} \vec{p}\left(t - \frac{r}{c}\right) \quad , \quad \vec{p}(t) = \sum_a e_a \vec{r}_a(t) \quad . \quad (6.9)$$

Skalární potenciál spo teme integrací kalibra ního vztahu

$$\frac{\partial \phi}{\partial t} = -c^2 \vec{\nabla} \cdot \vec{A} \quad . \quad (6.10)$$

Jednoduchými úpravami dostaneme

$$\vec{\nabla} \cdot \vec{A} = -\frac{\mu_0}{4\pi r^3} \vec{r} \cdot \left[ \frac{\partial}{\partial t} \vec{p}\left(t - \frac{r}{c}\right) + \frac{r}{c} \frac{\partial^2}{\partial t^2} \vec{p}\left(t - \frac{r}{c}\right) \right] \quad , \quad (6.11)$$

$$\vec{\nabla} \times \vec{A} = -\frac{\mu_0}{4\pi r^3} \vec{r} \times \left[ \frac{\partial}{\partial t} \vec{p}\left(t - \frac{r}{c}\right) + \frac{r}{c} \frac{\partial^2}{\partial t^2} \vec{p}\left(t - \frac{r}{c}\right) \right] \quad .$$

Skalární potenciál je tedy

$$\phi(\vec{r}, t) = \frac{1}{4\pi\epsilon_0} \frac{\vec{r}}{r^3} \cdot \left[ \vec{p}\left(t - \frac{r}{c}\right) + \frac{r}{c} \frac{\partial}{\partial t} \vec{p}\left(t - \frac{r}{c}\right) \right] . \quad (6.12)$$

Pro intenzity dostaneme

$$\vec{E}(\vec{r}, t) = \frac{1}{4\pi\epsilon_0 r^3} \left[ \frac{3}{r^2} \left( \vec{p}\left(t - \frac{r}{c}\right) \cdot \vec{r} \right) \vec{r} - \vec{p}\left(t - \frac{r}{c}\right) + \frac{1}{c^2} \left( \frac{\partial^2 \vec{p}\left(t - \frac{r}{c}\right)}{\partial t^2} \times \vec{r} \right) \times \vec{r} \right] , \quad (6.13)$$

$$\vec{B}(\vec{r}, t) = \frac{\mu_0}{4\pi r^3} \frac{\partial \vec{p}\left(t - \frac{r}{c}\right)}{\partial t} \times \vec{r} \quad , \quad \vec{p}\left(t - \frac{r}{c}\right) = \vec{p}\left(t - \frac{r}{c}\right) + \frac{r}{c} \frac{\partial \vec{p}\left(t - \frac{r}{c}\right)}{\partial t} .$$

Dostate n daleko od dipólu máme

$$\vec{E}(\vec{r}, t) = \frac{1}{4\pi\epsilon_0 c^2} \frac{1}{r} \vec{D}\left(t - \frac{r}{c}\right) \times \vec{n} \quad , \quad \vec{B}(\vec{r}, t) = \frac{\mu_0}{4\pi c r} \frac{1}{r} \vec{D}\left(t - \frac{r}{c}\right) , \quad (6.14)$$

kde jsme ozna ili

$$\vec{D}\left(t - \frac{r}{c}\right) = \frac{\partial^2 \vec{p}\left(t - \frac{r}{c}\right)}{\partial t^2} \times \vec{n} \quad , \quad \vec{n} = \frac{\vec{r}}{r} . \quad (6.15)$$

Pro hustotu energie máme

$$W = \frac{1}{2} \left( \epsilon_0 E^2 + \frac{1}{\mu_0} B^2 \right) = \frac{1}{16\pi^2 c^4 \epsilon_0} \frac{1}{r^2} D^2 \quad (6.16)$$

a Poynting v vektor je

$$\vec{S} = \frac{1}{\mu_0} \vec{E} \times \vec{B} = \frac{1}{16\pi^2 c^3 \epsilon_0} \frac{1}{r^2} D^2 \vec{n} . \quad (6.17)$$

Platí p irozen

$$\frac{\vec{S}}{W} = c \vec{n} . \quad (6.18)$$

*P íklad:* Vezm me rozložení proudu ve tvaru

$$\vec{j}(\vec{r}, t) = J \delta(x) \delta(y) \sin\left(\frac{\pi z}{L}\right) \cos(\omega t) \vec{e}_z \quad , \quad 0 \leq z \leq L . \quad (6.19)$$

Podle (6.8) a (6.9) spo teme snadno

$$\vec{p}(t) = \frac{2LJ}{\pi\omega} \sin(\omega t) \vec{e}_z \quad (6.20)$$

a podle (6.15)

$$\vec{D}\left(t - \frac{r}{c}\right) = -\frac{2LJ\omega}{\pi} \sin\theta \sin\omega\left(t - \frac{r}{c}\right) \vec{e}_\varphi . \quad (6.21)$$

*Příklad:* V kvantové teorii vezmeme místo integrálu z proudové hustoty maticový element operátoru proudu mezi počátečním a koncovým stavem elektronu v atomu. Ze Schrödingerovy rovnice

$$i\hbar \frac{\partial \psi_i}{\partial t} = \left( -\frac{\hbar^2}{2m} \Delta + V \right) \psi_i \quad , \quad -i\hbar \frac{\partial \psi_f^*}{\partial t} = \left( -\frac{\hbar^2}{2m} \Delta + V \right) \psi_f^* \quad (6.22)$$

dostaneme po úprav

$$\frac{\partial}{\partial t} (\psi_i \psi_f^*) + \frac{\hbar}{2mi} \vec{\nabla} \cdot (\psi_f^* \vec{\nabla} \psi_i - \psi_i \vec{\nabla} \psi_f^*) = 0 \quad . \quad (6.23)$$

Vztah (6.23) umohl uje zapsat šrovnici kontinuity

$$\frac{\partial \rho_{fi}}{\partial t} + \vec{\nabla} \cdot \vec{j}_{fi} = 0 \quad , \quad (6.24)$$

kde hustota náboje a hustota proudu odpovídající p echodu  $i \rightarrow f$  jsou

$$\rho_{fi} = e \psi_i \psi_f^* \quad , \quad \vec{j}_{fi} = \frac{e\hbar}{2mi} \psi_f^* \vec{\nabla} \psi_i - \psi_i \vec{\nabla} \psi_f^* \quad . \quad (6.25)$$

Vynásobení (6.24) vektorem  $\vec{r}$  a malou úpravou získáme vztah

$$\frac{\partial}{\partial t} (\vec{r} \psi_i \psi_f^*) + \frac{\partial}{\partial x} [\vec{r} (j_{fi})_x] + \frac{\partial}{\partial y} [\vec{r} (j_{fi})_y] + \frac{\partial}{\partial z} [\vec{r} (j_{fi})_z] = \vec{j}_{fi} \quad . \quad (6.26)$$

Dosadíme  $\vec{j}_{fi}$  dané tímto vztahem do (6.8). Integrály s derivacemi podle prostorových souadnic dají nulu, takže zbude jen první len s derivací podle času. Porovnání s (6.9) vede k výrazu pro dipólový moment. Vezmeme p itom v úvahu, že pro stacionární stavy

$$\psi_i(\vec{r}, t) = u_i(\vec{r}) \exp\left(-\frac{i}{\hbar} E_i t\right) \quad , \quad \psi_f^*(\vec{r}, t) = u_f^*(\vec{r}) \exp\left(\frac{i}{\hbar} E_f t\right) \quad . \quad (6.27)$$

S ozna ením  $\omega_{fi} = (E_f - E_i)/\hbar$  m fleme psát pro dipólový moment vyvolaný elektronovým p echodem  $i \rightarrow f$

$$\vec{p}_{fi}(t) = \exp(i\omega_{fi} t) e \int \vec{r} u_f^*(\vec{r}) u_i(\vec{r}) d^3 \vec{r} \quad . \quad (6.28)$$

#### 6.4 Lienard v - Wiechert v potenciál

A se nabitá částice pohybuje po zadané trajektorii  $\vec{r} = \vec{r}_0(t)$ . Hustota náboje je pak

$$\rho(\vec{r}, t) = e \delta^{(3)}(\vec{r} - \vec{r}_0(t)) \quad . \quad (6.29)$$

Vzorec pro skalární potenciál p epí-eme jako

$$\begin{aligned}\phi(\vec{r}, t) &= \frac{1}{4\pi\epsilon_0} \int \frac{\rho(\vec{r}', t')}{|\vec{r} - \vec{r}'|} \delta\left(t' - t + \frac{|\vec{r} - \vec{r}'|}{c}\right) dt' d^3\vec{r}' = \\ & \frac{1}{4\pi\epsilon_0} \int \frac{1}{R(t')} \delta\left(t' - t + \frac{|\vec{r} - \vec{r}'|}{c}\right) dt' ,\end{aligned}\quad (6.30)$$

kde jsme označili  $\vec{R}(t') = \vec{r} - \vec{r}'(t')$ ,  $R(t') = |\vec{R}(t')|$ . S pomocí vztahu

$$\delta\left(t' - t + \frac{R(t')}{c}\right) = \frac{\delta(t' - t_r)}{1 - \frac{\vec{R}(t_r) \cdot \vec{v}(t_r)}{cR(t_r)}}, \quad t_r = t - \frac{R(t_r)}{c} \quad (6.31)$$

napišme výraz pro skalární potenciál jako

$$\phi(\vec{r}, t) = \frac{e}{4\pi\epsilon_0} \frac{1}{R(t_r) - \frac{\vec{R}(t_r) \cdot \vec{v}(t_r)}{c}}, \quad t_r = t - \frac{R(t_r)}{c}. \quad (6.32)$$

Výraz pro vektorový potenciál je pak obdobně

$$\vec{A}(\vec{r}, t) = \frac{e\mu_0}{4\pi} \frac{\vec{v}(t_r)}{R(t_r) - \frac{\vec{R}(t_r) \cdot \vec{v}(t_r)}{c}}, \quad t_r = t - \frac{R(t_r)}{c}. \quad (6.33)$$

Vezme te jednoduchý případ pohybu s konstantní rychlostí podél osy  $x$ . Podmínku pro nalezení časového zpoždění napíšeme na

$$c^2(t - t_r)^2 = (x - vt_r)^2 + y^2 + z^2, \quad (6.34)$$

odkud

$$\left(1 - \frac{v^2}{c^2}\right)t_r = t - \frac{vx}{c^2} - \frac{1}{c} \left[ (x - vt_r)^2 + \left(1 - \frac{v^2}{c^2}\right)(y^2 + z^2) \right]^{1/2}. \quad (6.35)$$

Jmenovatel výrazů (6.32) a (6.33) pro potenciály můžeme psát jako

$$c(t - t_r) - \frac{v(x - vt_r)}{c} = c \left[ t - \frac{vx}{c^2} - \left(1 - \frac{v^2}{c^2}\right)t_r \right]. \quad (6.36)$$

Po malé úpravě pak dostáváme

$$\phi(\vec{r}, t) = \frac{e}{4\pi\epsilon_0} \frac{1}{(1 - \beta^2)^{1/2} r^*} \quad (6.37)$$

pro skalární potenciál a

$$\vec{A}(\vec{r}, t) = (A_x(\vec{r}, t), 0, 0), \quad A_x(\vec{r}, t) = \frac{e\mu_0}{4\pi} \frac{1}{(1 - \beta^2)^{1/2}} \frac{v}{r^*} \quad (6.38)$$

pro vektorový potenciál, kde jsme označili

$$r^* = \left[ \frac{(x - vt)^2}{1 - \beta^2} + y^2 + z^2 \right]^{1/2} . \quad (6.39)$$

Vektor intenzity elektrického pole je

$$\vec{E}(\vec{r}, t) = \frac{e}{4\pi\epsilon_0} \frac{1}{(1 - \beta^2)^{1/2}} \frac{1}{r^{*3}} (x - vt, y, z) \quad (6.40)$$

a vektor indukce magnetického pole je

$$\vec{B}(\vec{r}, t) = \frac{e\mu_0}{4\pi} \frac{1}{(1 - \beta^2)^{1/2}} \frac{v}{r^{*3}} (0, -z, y) . \quad (6.41)$$

Pro vektor hustoty impulsu pole  $\vec{G} = \epsilon_0 \vec{E} \times \vec{B}$  dostáváme

$$\vec{G}(\vec{r}, t) = \frac{e^2 \mu_0}{16\pi^2} \frac{1}{1 - \beta^2} \frac{v}{r^{*6}} (y^2 + z^2, -y(x - vt), -z(x - vt)) \quad (6.42)$$

a pro hustotu energie  $W = (\epsilon_0 E^2 + B^2/\mu_0)/2$  výraz

$$W(\vec{r}, t) = \frac{e^2}{32\pi^2 \epsilon_0} \frac{1}{1 - \beta^2} \frac{(x - vt)^2 + (1 + \beta^2)(y^2 + z^2)}{r^{*6}} . \quad (6.43)$$

## 6.5 Ztráta energie záření

Pro Poynting vektor dipólového elektromagnetického pole jsme měli výrazy (6.15) a (6.17). Pro jednu nerelativistickou částici s nábojem  $e$ , která se pohybuje se zrychlením  $\vec{w}$  je pak

$$\vec{D} = e \vec{w} \times \vec{n} \quad (6.44)$$

a intenzita záření vychází jako

$$dI = \vec{S} \cdot \vec{n} r^2 d\Omega = \frac{e^2}{16\pi^2 \epsilon_0 c^3} w^2 \sin^2 \theta d\Omega . \quad (6.45)$$

Po integraci přes celý prostorový úhel dostaneme pro vyzařovanou intenzitu ( $\mathcal{E}$  je energie částice)

$$I = \frac{d\mathcal{E}}{dt} = \frac{e^2}{6\pi \epsilon_0 c^3} w^2 . \quad (6.46)$$



## 7. Rozptyl záření volnými náboji.

### 7.1 Thomson v vzorec

Budeme popisovat rozptyl záření, které dopadá na soustavu nabitých částic. Zavedeme proto pojem úinného prouzu.  $dI$  značí intenzitu záření, tj. střední hodnotu energie vyzařované soustavou za jednotku času do elementu prostorového úhlu  $d\Omega$  a  $\bar{S}$  je střední hodnota velikosti Poyntingova vektoru (střední hodnota toku energie) dopadajícího záření. Potom je definován diferenciální úinný proud (úinný proud rozptylu do elementu prostorového úhlu  $d\Omega$ ) jako veličina rozměru elementu plochy

$$d\sigma = \frac{dI}{\bar{S}} . \quad (7.1)$$

Uvažujme tedy rozptyl elektromagnetické vlny jedním volným nábojem. Budeme předpokládat, že rychlost získaná nábojem bude malá a že vlnová délka dopadající vlny je mnohem větší než amplituda vyvolaných kmitů náboje okolo rovnovážné polohy (do této polohy umístíme počátek souřadnic), tedy můžeme psát

$$m \frac{d^2 \vec{r}}{dt^2} = e \vec{E}_0 \cos(\vec{k} \cdot \vec{r} - \omega t + \alpha) \approx e \vec{E}_0 \cos(\omega t - \alpha) . \quad (7.2)$$

Pro intenzitu dipólového záření kmitajícího náboje máme podle (6.46)

$$dI = \frac{e^4}{16\pi^2 \epsilon_0 m^2 c^3} |\vec{E}_0 \times \vec{n}|^2 \overline{\cos^2(\omega t - \alpha)} d\Omega = \frac{e^4}{32\pi^2 \epsilon_0 m^2 c^3} E_0^2 \sin^2 \theta d\Omega \quad (7.3)$$

a pro střední hodnotu Poyntingova vektoru dopadající vlny

$$\bar{S} = c \epsilon_0 E_0^2 \overline{\cos^2(\omega t - \alpha)} = \frac{1}{2} c \epsilon_0 E_0^2 , \quad (7.4)$$

takže diferenciální úinný proud je

$$d\sigma = \left( \frac{e^2}{4\pi \epsilon_0 m c^2} \right)^2 \sin^2 \theta d\Omega . \quad (7.5)$$

Celkový úinný proud je pak dán Thomsonovým vzorcem

$$\sigma = \frac{8\pi}{3} \left( \frac{e^2}{4\pi \epsilon_0 m c^2} \right)^2 = \frac{8}{3} \pi r_e^2 . \quad (7.6)$$

Velikost  $r_e$  označuje tzv. klasický polom r elektronu. Vztah pro polom r získáme tak, že položíme elektrostatickou energii elektronu špolom rovnou klidové energii

$$\frac{e^2}{4\pi \epsilon_0 r_e} = m c^2 . \quad (7.7)$$

Poznámka o špolom rechõ: Za základ vezmeme redukovanou (tj. pod lenou  $2\pi$ ) Comptonovu vlnovou dlku elektronu a (bezrozm rnou) konstantu jemné struktury  $\alpha$

$$\tilde{\lambda} = \frac{\lambda_c}{2\pi} = \frac{\hbar}{mc} \quad , \quad \alpha = \frac{e^2}{4\pi\epsilon_0\hbar c} \quad . \quad (7.8)$$

Bohr v polom r dostaneme jako podíl, klasický polom r jako sou int chto veli in

$$a_B = \frac{\tilde{\lambda}}{\alpha} = \frac{4\pi\epsilon_0\hbar^2}{me^2} \quad , \quad r_e = \tilde{\lambda}\alpha = \frac{e^2}{4\pi\epsilon_0 mc^2} \quad . \quad (7.9)$$

## 7.2 Modifikace Thomsonova vzorce

Uvafujme nyní nikoliv volný náboj, ale tlumený oscilátor, tedy

$$\frac{d^2\vec{r}}{dt^2} + \gamma\frac{d\vec{r}}{dt} + \omega_0^2\vec{r} = \frac{e}{m}\vec{E}_0\cos\omega t \quad . \quad (7.10)$$

Pro dipólový moment  $\vec{p} = e\vec{r}$  odsud dostáváme

$$\vec{p} = \frac{e^2}{m} \frac{(\omega_0^2 - \omega^2)\cos\omega t + \gamma\omega\sin\omega t}{(\omega_0^2 - \omega^2)^2 + \gamma^2\omega^2} \vec{E}_0 \quad . \quad (7.11)$$

Celkový ú inný pr ez je v tomto p ípad

$$\sigma = \frac{8\pi}{3} r_e^2 \frac{\omega^4}{(\omega_0^2 - \omega^2)^2 + \gamma^2\omega^2} \quad . \quad (7.12)$$

## 7.3 Index lomu

Definujeme polarizovatelnost  $\alpha(\omega)$  jako konstantu ú m rnosti ve vztahu mezi (lokálním) elektrickým polem  $\vec{E}_{loc}$  a dipólovým momentem  $\vec{p}$ . Vyjdeme z komplexního zápisu (7.10)

$$\frac{d^2\vec{r}}{dt^2} + \gamma\frac{d\vec{r}}{dt} + \omega_0^2\vec{r} = \frac{e}{m}\vec{E}_{loc}\exp(-i\omega t) \quad . \quad (7.13)$$

Potom

$$\vec{p} = \epsilon_0\alpha(\omega)\vec{E}_{loc} \quad , \quad \alpha(\omega) = \frac{e^2}{\epsilon_0 m} \frac{1}{\omega_0^2 - i\gamma\omega - \omega^2} \quad . \quad (7.14)$$

Polarizace je pak  $\vec{P} = N\vec{p}$ . Musíme ov-em uváfit, jaké pole p sobí na náboj. P ípome me z elektrostatiky, fle je-li v dielektriku s homogenním polem dutina, je lokální pole rovno

$$\vec{E}_{loc} = \vec{E} \quad , \quad \vec{E}_{loc} = \vec{E} + \frac{1}{\epsilon_0}\vec{P} \quad , \quad \vec{E}_{loc} = \vec{E} + \frac{1}{3\epsilon_0}\vec{P} \quad , \quad (7.15)$$

podle toho, jde-li o t rbinu podél nebo nap í pole nebo o kulovou dutinu. Pro úplnost poznamenejme, fle pro magnetické pole máme v podobné situaci

$$\vec{B}_{loc} = \vec{B} - \vec{M} \quad , \quad \vec{B}_{loc} = \vec{B} \quad , \quad \vec{B}_{loc} = \vec{B} - \frac{2}{3}\vec{M} \quad . \quad (7.16)$$

Pro dielektrika uvažujeme o vázaných nábojích uvnitř kulové dutiny, můžeme tedy psát

$$\vec{P} = \frac{N\alpha}{1 - \frac{1}{3}N\alpha} \epsilon_0 \vec{E} \quad (7.17)$$

a pro index lomu (za velmi slabého předpokladu  $\mu(\omega) = \mu_0$ )

$$n^2 = 1 + \frac{N\alpha}{1 - \frac{1}{3}N\alpha} \quad . \quad (7.18)$$

Obvyklá forma tohoto vztahu je (Clausius - Mossotti)

$$3 \frac{n^2 - 1}{n^2 + 2} = N\alpha \quad . \quad (7.19)$$

Ve vodiči uvažujeme o těm volných elektronech (nevázaných k atomu, tedy  $\omega_0 = 0$ ) a dále máme pro konstantu  $\gamma$  (ze dvou různých vyjádření proudu a zápisu změny hybnosti za dobu mezi srážkami)

$$j = \sigma E \quad , \quad j = Ne v_d \quad , \quad m v_d \gamma = e E \quad \Rightarrow \quad \gamma = \frac{N e^2}{m \sigma} \quad . \quad (7.20)$$

Také lokální pole je rovno vnějšímu, opět díky neustálému pohybu těm volných elektronů. Odtud máme pro index lomu v kovu

$$n^2 = 1 - \frac{\omega_p^2}{\omega^2 + i\omega\omega_p^2 \frac{\epsilon_0}{\sigma}} \quad , \quad \omega_p^2 = \frac{N e^2}{m \epsilon_0} \quad . \quad (7.21)$$

## 8. Elektromagnetické pole v dispersním prostředí.

### 8.1 Maxwellovy rovnice

Maxwellovy rovnice pro Fourierovy složky (píjeme obecně bez vyznačení prostorové proměnné) po úměrné jako

$$f(t) = \frac{1}{2\pi} \int_{-\infty}^{\infty} f(\omega) \exp(-i\omega t) d\omega \quad (8.1)$$

jsou

$$\begin{aligned} \vec{\nabla} \cdot \vec{B}(\omega) &= 0 \quad , \quad \vec{\nabla} \times \vec{H}(\omega) = -i\omega \vec{D}(\omega) \quad , \\ \vec{\nabla} \cdot \vec{D}(\omega) &= 0 \quad , \quad \vec{\nabla} \times \vec{E}(\omega) = i\omega \vec{B}(\omega) \quad . \end{aligned} \quad (8.2)$$

Předpoklad lineárního a přímého vztahu mezi intenzitou a indukcí elektrického pole připouští následující vztah

$$\vec{D}(t) = \varepsilon_0 \left( \vec{E}(t) + \int_0^\infty \chi_e(\tau) \vec{E}(t-\tau) d\tau \right) . \quad (8.3)$$

Podobně pro magnetické veličiny

$$\vec{B}(t) = \mu_0 \left( \vec{H}(t) + \int_0^\infty \chi_m(\tau) \vec{H}(t-\tau) d\tau \right) . \quad (8.4)$$

Fourierova transformace (8.3) a (8.4) vede k výrazům

$$\vec{D}(\omega) = \varepsilon_0 \varepsilon(\omega) \vec{E}(\omega) , \quad \vec{B}(\omega) = \mu_0 \mu(\omega) \vec{H}(\omega) , \quad (8.5)$$

kde

$$\varepsilon(\omega) = 1 + \int_0^\infty \chi_e(\tau) \exp(i\omega\tau) d\tau , \quad \mu(\omega) = 1 + \int_0^\infty \chi_m(\tau) \exp(i\omega\tau) d\tau . \quad (8.6)$$

Z tohoto vyjádření máme hned

$$\varepsilon(-\omega) = \varepsilon^*(\omega) , \quad \mu(-\omega) = \mu^*(\omega) \quad (8.7)$$

a

$$\lim_{\omega \rightarrow \infty} \varepsilon(\omega) = 1 , \quad \lim_{\omega \rightarrow \infty} \mu(\omega) = 1 . \quad (8.8)$$

Komplexní veličiny  $\varepsilon(\omega)$  a  $\mu(\omega)$  je zvykem znázornit pomocí reálných a imaginárních částí jako

$$\varepsilon(\omega) = \varepsilon'(\omega) + i\varepsilon''(\omega) , \quad \mu(\omega) = \mu'(\omega) + i\mu''(\omega) . \quad (8.9)$$

Pro dielektrika nabývá  $\varepsilon(\omega)$  při  $\omega \rightarrow 0$  konečnou hodnotu statické relativní permitivity. Pro kovy je chování zajímavější. Z porovnání dvou tvarů  $(\vec{\nabla} \times \vec{H})(\omega \rightarrow 0)$  dostáváme

$$-i\omega \varepsilon(\omega \rightarrow 0) \vec{E}(\omega \rightarrow 0) \rightarrow \sigma \vec{E}(\omega \rightarrow 0) \Rightarrow \varepsilon(\omega \rightarrow 0) \rightarrow \frac{i\sigma}{\omega} . \quad (8.10)$$

S využitím vztahů (8.5) můžeme Maxwellovy rovnice (8.2) přepsat na

$$\begin{aligned} \vec{\nabla} \cdot \vec{B}(\omega) &= 0 , & \vec{\nabla} \times \vec{B}(\omega) &= -i\omega \frac{n^2(\omega)}{c^2} \vec{E}(\omega) , \\ \vec{\nabla} \cdot \vec{E}(\omega) &= 0 , & \vec{\nabla} \times \vec{E}(\omega) &= i\omega \vec{B}(\omega) , \end{aligned} \quad (8.11)$$

kde

$$\varepsilon_0 \mu_0 = \frac{1}{c^2} , \quad \varepsilon(\omega) \mu(\omega) = n^2(\omega) . \quad (8.12)$$

Vhodnou volbou kalibrace potenciál je  $\phi(\omega)=0$ ,  $\vec{\nabla} \cdot \vec{A}(\omega)=0$ , takže

$$\vec{E}(\omega) = i\omega \vec{A}(\omega) \quad , \quad \vec{B}(\omega) = \vec{\nabla} \times \vec{A}(\omega) \quad (8.13)$$

a pro vektorový potenciál máme Helmholtzovu rovnici

$$\Delta \vec{A}(\omega) + \frac{\omega^2 n^2(\omega)}{c^2} \vec{A}(\omega) = 0 \quad . \quad (8.14)$$

## 8.2 Disipace energie

Vezmeme nyní výraz (1.9)

$$-\vec{\nabla} \cdot \vec{S} = \vec{H} \cdot \frac{\partial \vec{B}}{\partial t} + \vec{E} \cdot \frac{\partial \vec{D}}{\partial t} \quad . \quad (8.15)$$

Uvažujme monochromatickou elektromagnetickou vlnu. Pravá strana (8.15) obsahuje kvadratické výrazy, musíme pracovat s reálnými reprezentacemi pole, tj. dosadit

$$\begin{aligned} \vec{E} &= \frac{1}{2} [\vec{E}(\omega) \exp(-i\omega t) + \vec{E}^*(\omega) \exp(i\omega t)] \quad , \\ \frac{\partial \vec{D}}{\partial t} &= \frac{i\omega \epsilon_0}{2} [-\epsilon(\omega) \vec{E}(\omega) \exp(-i\omega t) + \epsilon^*(\omega) \vec{E}^*(\omega) \exp(i\omega t)] \end{aligned} \quad (8.16)$$

a

$$\begin{aligned} \vec{H} &= \frac{1}{2} [\vec{H}(\omega) \exp(-i\omega t) + \vec{H}^*(\omega) \exp(i\omega t)] \quad , \\ \frac{\partial \vec{B}}{\partial t} &= \frac{i\omega \mu_0}{2} [-\mu(\omega) \vec{H}(\omega) \exp(-i\omega t) + \mu^*(\omega) \vec{H}^*(\omega) \exp(i\omega t)] \quad . \end{aligned} \quad (8.17)$$

Pro časovou střední hodnotu Poyntingova vektoru

$$\overline{\vec{S}}(\omega) = \lim_{T \rightarrow \infty} \frac{1}{T} \int_0^T \vec{S}(\omega, t) dt \quad (8.18)$$

dostáváme ze vztahu (8.15) dosazením z (8.16) a (8.17)

$$-\vec{\nabla} \cdot \overline{\vec{S}}(\omega) = \frac{\omega}{2} \left[ \epsilon_0 \epsilon''(\omega) |\vec{E}(\omega)|^2 + \mu_0 \mu''(\omega) |\vec{H}(\omega)|^2 \right] \quad . \quad (8.19)$$

Energie přídávaná do jednotky objemu prostředí vycházející elektromagnetickou vlnou je proměňována na teplo. Podle druhé věty termodynamické musí být toto teplo při disipaci energie vytvořeno, musí tedy být

$$\omega \epsilon''(\omega) > 0 \quad , \quad \omega \mu''(\omega) > 0 \quad . \quad (8.20)$$

### 8.3 Fázová a grupová rychlost

Uvažujme šíření vlny ve směru osy  $z$ . Předpokládejme, že prostředí má jen slabou disperzi, tedy kvadrát indexu lomu bude součinem reálných částí permitivity a permeability (čárky vynecháváme) a vlnu napíšeme jako

$$A = \int_{-\infty}^{\infty} a(\omega - \omega_0) \exp \left[ i \left( \frac{\omega n(\omega)}{c} z - \omega t \right) \right] d\omega \quad (8.21)$$

Amplitudová funkce je soustředěna kolem centrální frekvence  $\omega_0$ , takže podstatnou roli bude hrát jen malá šgrupa vln s blízkými frekvencemi. Provedeme rozvoj fáze kolem centrální frekvence

$$\frac{\omega n(\omega)}{c} z - \omega t = \frac{\omega_0 n(\omega_0)}{c} z - \omega_0 t + \left\{ \frac{z}{c} \frac{d[\omega n(\omega)]}{d\omega} \Big|_{\omega=\omega_0} - t \right\} (\omega - \omega_0) + \dots$$

Vlnu (8.21) aproximujeme výrazem

$$A = \exp \left[ i \omega_0 \left( \frac{z}{v_f} - t \right) \right] \int_{-\infty}^{\infty} a(\xi) \exp \left[ i \xi \left( \frac{z}{v_g} - t \right) \right] d\xi \quad (8.22)$$

kde jsme označili fázovou rychlost

$$v_f = \frac{c}{n(\omega_0)} \quad (8.23)$$

a grupovou rychlost

$$v_g = \frac{c}{\frac{d[\omega n(\omega)]}{d\omega} \Big|_{\omega=\omega_0}} \quad (8.24)$$

Pokud je index lomu menší než jedna, může nabývat fázová rychlost hodnot větší jak rychlost světla ve vakuu. Fázová rychlost je však jen abstraktní veličina. Zato grupová rychlost vystupuje například jako rychlost přenosu energie, měla by tedy podle Einsteinovy teorie být vždy menší než  $c$ . Proto musí být splněna podmínka (index 0 u frekvencí ufl vynecháváme)

$$\frac{d[\omega n(\omega)]}{d\omega} > 1 \quad (8.25)$$

Není triviální to ukázat, ale podmínka skutečně splněna je.

## 9. Rovnice elektromagnetického pole ve čtyřrozměrném zápisu

### 9.1 Čtyřrozměrný vektor proudu, rovnice kontinuity

Hustotu náboje píšeme jako

$$dQ = \rho dV \quad , \quad \rho = \sum_a e_a \delta^{(3)}(\vec{r} - \vec{r}_a) \quad . \quad (9.1)$$

Ze vztahu

$$dQ dx^i = \rho dV dx^i = \rho \frac{dx^i}{dt} dV dt = \frac{1}{c} \rho \frac{dx^i}{dt} d\Omega \quad (9.2)$$

porovnáním geometrických vlastností (dva skaláry  $dQ$  ó element náboje a  $d\Omega$  ó element objemu a jeden čtyřrozměrný vektor  $dx^i$ ) vyplývá, že musíme definovat další čtyřrozměrný vektor (proudu)

$$j^i = \rho \frac{dx^i}{dt} = (c\rho, \rho\vec{v}) = (c\rho, \vec{j}) \quad . \quad (9.3)$$

Ve výrazu pro úhnek mžeme pak psát pí p echodu ke spojitému rozd lení náboje

$$e \int A_i dx^i = \int \rho A_i dx^i dV = \frac{1}{c} \int A_i j^i d\Omega \quad . \quad (9.4)$$

Náboj, který ubude v n jakém objemu, mžeme zapsat dvojm zp sobem

$$-\frac{\partial}{\partial t} \int \rho dV = \oint \vec{j} \cdot \vec{n} dS \quad . \quad (9.5)$$

S pomocí Gaussovy v ty pak z (9.5) plyne

$$\int \left( \vec{\nabla} \cdot \vec{j} + \frac{\partial \rho}{\partial t} \right) dV = 0 \quad , \quad (9.6)$$

tedy (objem je libovolný) rovnice kontinuity

$$\vec{\nabla} \cdot \vec{j} + \frac{\partial \rho}{\partial t} = \frac{\partial j^i}{\partial x^i} = 0 \quad . \quad (9.7)$$

Zákon zachování náboje (rovnice kontinuity) zaruuje, že pí kalibra ní transformací se úhnek zm ní pouze o divergenci

$$\frac{\partial j^i}{\partial x^i} = 0 \quad \Rightarrow \quad \int A_i j^i d\Omega \quad \rightarrow \quad \int \left( A_i + \frac{\partial \chi}{\partial x^i} \right) j^i d\Omega = \int A_i j^i d\Omega + \int \frac{\partial (\chi j^i)}{\partial x^i} d\Omega \quad . \quad (9.8)$$

### 9.2 Náboj v elektromagnetickém poli

Úhnek pro nabitou ástici v elektromagnetickém poli, který je invariantní a má šminimální interakci, mžeme zvolit jako

$$S = -mc \int_a^b ds - e \int_a^b A_i dx^i \quad , \quad A^i = \left( \frac{\phi}{c}, \vec{A} \right) \quad . \quad (9.9)$$

Lagrangeova funkce a zobecněná hybnost jsou

$$L = -mc^2 \sqrt{1 - \frac{v^2}{c^2}} + e \vec{A} \cdot \vec{v} - e \phi \quad , \quad \vec{P} = \frac{\partial L}{\partial \vec{v}} = \frac{m \vec{v}}{\sqrt{1 - \beta^2}} + e \vec{A} = \vec{p} + e \vec{A} \quad . \quad (9.10)$$

Je pak<sup>10</sup>

$$\begin{aligned} \frac{\partial L}{\partial \vec{r}} &= e \vec{\nabla} (\vec{A} \cdot \vec{v}) - e \vec{\nabla} \phi = e (\vec{v} \cdot \vec{\nabla}) \vec{A} + e \vec{v} \times (\vec{\nabla} \times \vec{A}) - e \vec{\nabla} \phi \quad , \\ \frac{d}{dt} (\vec{p} + e \vec{A}) &= \frac{d \vec{p}}{dt} + e \frac{\partial \vec{A}}{\partial t} + e (\vec{v} \cdot \vec{\nabla}) \vec{A} \quad . \end{aligned} \quad (9.11)$$

Lagrangeova rovnice je tedy

$$\frac{d \vec{p}}{dt} = e (\vec{E} + \vec{v} \times \vec{B}) \quad , \quad (9.12)$$

kde jsme označili

$$\vec{E} = -\vec{\nabla} \phi - \frac{\partial \vec{A}}{\partial t} \quad , \quad \vec{B} = \vec{\nabla} \times \vec{A} \quad . \quad (9.13)$$

Ve čtyřrozměrné notaci

$$\begin{aligned} \delta S &= \delta \left( -mc \int_a^b ds - e \int_a^b A_i dx^i \right) = \\ &= \int_a^b \left( mc \delta x^i du_i + e \frac{\partial A_i}{\partial x^k} \delta x^i dx^k - e \frac{\partial A_i}{\partial x^k} \delta x^k dx^i \right) - (mc u_i + e A_i) \delta x^i \Big|_a^b \quad . \end{aligned} \quad (9.14)$$

Použili jsme při odvození integraci per partes a vztahy

$$\delta ds = u_i d\delta x^i \quad , \quad \delta A_i = \frac{\partial A_i}{\partial x^k} \delta x^k \quad . \quad (9.15)$$

Obvyklým postupem dostáváme výraz pro zobecněnou hybnost

$$P^i = mc u^i + e A^i \quad (9.16)$$

a pohybovou rovnici

$$mc \frac{du_i}{ds} = e F_{ik} u^k \quad , \quad F_{ik} = \frac{\partial A_k}{\partial x^i} - \frac{\partial A_i}{\partial x^k} \quad . \quad (9.17)$$

### 9.3 Tenzor elektromagnetického pole

Ve vztahu (9.17) jsme zavedli tenzor elektromagnetického pole

---

<sup>10</sup> Při úpravě použijeme identitu známou z vektorové analýzy

$$\vec{\nabla} (\vec{a} \cdot \vec{b}) = (\vec{a} \cdot \vec{\nabla}) \vec{b} + (\vec{b} \cdot \vec{\nabla}) \vec{a} + \vec{b} \times (\vec{\nabla} \times \vec{a}) + \vec{a} \times (\vec{\nabla} \times \vec{b}) \quad .$$



$$F_{ik} = \begin{pmatrix} 0 & E_x/c & E_y/c & E_z/c \\ -E_x/c & 0 & -B_z & B_y \\ -E_y/c & B_z & 0 & -B_x \\ -E_z/c & -B_y & B_x & 0 \end{pmatrix}, \quad F^{ik} = \begin{pmatrix} 0 & -E_x/c & -E_y/c & -E_z/c \\ E_x/c & 0 & -B_z & B_y \\ E_y/c & B_z & 0 & -B_x \\ E_z/c & -B_y & B_x & 0 \end{pmatrix}. \quad (9.18)$$

P i Lorentzov transformaci se tenzor elektromagnetického pole transformuje podle vztahu

$$F^{ik} = \Lambda_m^i \Lambda_n^k F'^{mn}. \quad (9.19)$$

Ozna íme-li  $\gamma = 1/\sqrt{1-\beta^2}$ , dostáváme p i transformaci

$$x^0 = \gamma(x'^0 + \beta x'^1), \quad x^1 = \gamma(x'^1 + \beta x'^0), \quad x^2 = x'^2, \quad x^3 = x'^3, \quad (9.20)$$

neboli v maticovém zápísu

$$x^i = \Lambda_k^i x'^k, \quad \Lambda_k^i = \begin{pmatrix} \gamma & \beta\gamma & 0 & 0 \\ \beta\gamma & \gamma & 0 & 0 \\ 0 & 0 & 1 & 0 \\ 0 & 0 & 0 & 1 \end{pmatrix} \quad (9.21)$$

transforma ní vztah pro tenzor pole

$$F'^{ik} = \begin{pmatrix} 0 & F'^{01} & \gamma(F'^{02} + \beta F'^{12}) & \gamma(F'^{03} + \beta F'^{13}) \\ F'^{10} & 0 & \gamma(F'^{12} + \beta F'^{02}) & \gamma(F'^{13} + \beta F'^{03}) \\ \gamma(F'^{20} + \beta F'^{21}) & \gamma(F'^{21} + \beta F'^{20}) & 0 & F'^{23} \\ \gamma(F'^{30} + \beta F'^{31}) & \gamma(F'^{31} + \beta F'^{30}) & F'^{32} & 0 \end{pmatrix}. \quad (9.22)$$

P evedeno do vektor intenzity a indukce

$$\begin{aligned} E_x &= E'_x, & E_y &= \gamma(E'_y + V B'_z), & E_z &= \gamma(E'_z - V B'_y), \\ B_x &= B'_x, & B_y &= \gamma\left(B'_y - \frac{V}{c^2} E'_z\right), & B_z &= \gamma\left(B'_z + \frac{V}{c^2} E'_y\right). \end{aligned} \quad (9.23)$$

V nerelativistickém p íblížení ( $V/c \rightarrow 0$ ) p echází (9.23) na

$$\vec{E} \doteq \vec{E}' - \vec{V} \times \vec{B}', \quad \vec{B} \doteq \vec{B}'. \quad (9.24)$$

Invarianty pole m fleme zkonstruovat z tenzoru pole. Pon vadfl je antisymetrický, zúflení nedává nic a máme afl kvadratické výrazy

$$g^{im} g^{kn} F_{ik} F_{mn} = F_{ik} F^{ik} = \text{inv}, \quad \varepsilon^{ikmn} F_{ik} F_{mn} = F_{ik} {}^* F^{ik} = \text{inv}. \quad (9.25)$$

Duální tenzor vyjád ený pomocí intenzity elektrického pole a indukce magnetického pole má tvar

$${}^*F_{ik} = \begin{pmatrix} 0 & -B_x & -B_y & -B_z \\ B_x & 0 & -E_z/c & E_y/c \\ B_y & E_z/c & 0 & -E_x/c \\ B_z & -E_y/c & E_x/c & 0 \end{pmatrix} . \quad (9.26)$$

Invarianty mají pak vyjádření

$$F_{ik} F^{ik} = -2 \left( \frac{\vec{E}^2}{c^2} - \vec{B}^2 \right) , \quad F_{ik} {}^*F^{ik} = 4 \frac{\vec{E} \cdot \vec{B}}{c} . \quad (9.27)$$

#### 9.4 První pár Maxwellových rovnic

Z vyjádření tenzoru elektromagnetického pole pomocí potenciálu snadno odvodíme platnost vztahu

$$\frac{\partial F_{ik}}{\partial x^l} + \frac{\partial F_{kl}}{\partial x^i} + \frac{\partial F_{li}}{\partial x^k} = 0 . \quad (9.28)$$

Na levé straně je úplně antisymetrický tenzor třetího řádu, představuje pouze tři různé rovnice. Zřejmě ji je to vidět, uflijeme-li zápis pomocí duálního (pseudo)vektoru

$$\varepsilon^{iklm} \frac{\partial F_{lm}}{\partial x^k} = \frac{\partial {}^*F^{ik}}{\partial x^k} = 0 . \quad (9.29)$$

Nultá komponenta dává tvrzení o nezáporném charakteru magnetického pole, další tři komponenty Faraday v indukční zákon

$$\vec{\nabla} \cdot \vec{B} = 0 , \quad \vec{\nabla} \times \vec{E} = -\frac{\partial \vec{B}}{\partial t} . \quad (9.30)$$

#### 9.5 Druhý pár Maxwellových rovnic

Druhý pár Maxwellových rovnic odvodíme z variačního principu. Za Lagrangeovu funkci elektromagnetického pole zvolíme přirozeně známý invariant s vhodnou konstantou

$$\begin{aligned} S &= -\frac{1}{c} \int \left( A_i j^i + \frac{1}{4\mu_0} F_{ik} F^{ik} \right) d\Omega \\ &= \int \left( \frac{\varepsilon_0}{2} \vec{E}^2 - \rho \phi - \frac{1}{2\mu_0} \vec{B}^2 + \vec{j} \cdot \vec{A} \right) dV dt . \end{aligned} \quad (9.31)$$

S uvážením  $F^{ik} \delta F_{ik} = F_{ik} \delta F^{ik}$  dostáváme

$$\begin{aligned} \delta S &= -\frac{1}{c} \int \left( j^i \delta A_i + \frac{1}{2\mu_0} F^{ik} \delta F_{ik} \right) d\Omega = \\ &= -\frac{1}{c} \int \left( j^i \delta A_i + \frac{1}{2\mu_0} F^{ik} \frac{\partial}{\partial x^j} \delta A_k - \frac{1}{2\mu_0} F^{ik} \frac{\partial}{\partial x^k} \delta A_i \right) d\Omega . \end{aligned} \quad (9.32)$$

Po integraci per partes ve (9.32)

$$\delta S = -\frac{1}{c\mu_0} \int \left( \mu_0 j^i + \frac{\partial F^{ik}}{\partial x^k} \right) \delta A_i d\Omega - \frac{1}{c\mu_0} \int F^{ik} \delta A_i dS_k \quad . \quad (9.33)$$

Druhý pár Maxwellových rovnic je tedy

$$\frac{\partial F^{ik}}{\partial x^k} = -\mu_0 j^i \quad . \quad (9.34)$$

Nultá komponenta je rovnice pro divergenci indukce elektrického pole (zobecní Gaussovy v ty elektrostatiky), zbývající tři pro rotaci intenzity magnetického pole (Ampérův zákon doplněný Maxwellovým posuvným proudem)

$$\vec{\nabla} \cdot \vec{D} = \rho \quad , \quad \vec{\nabla} \times \vec{H} = \frac{\partial \vec{D}}{\partial t} + \vec{j} \quad . \quad (9.35)$$

## 9.6 Tensor energie a hybnosti

Tensor energie a hybnosti dostaneme z teoremu Noetherové při transformaci, odpovídající translaci souřadnic

$$X_j^i = \delta_j^i \quad , \quad Q_j^A = 0 \quad , \quad \bar{T}_j^i(x) = q^A_{,j} \frac{\partial L}{\partial q^A_{,i}} - L \delta_j^i \quad . \quad (9.36)$$

Tady je index  $j$  vlastně indexem náhodně tensorovým. Takto získaný tensor energie a hybnosti  $T^{ik}$  není obecně symetrický. Pro Lagrangeovu funkci elektromagnetického pole je

$$\frac{\partial L}{\partial q^A_{,i}} = \frac{\partial L}{\partial A_{j,i}} = -\frac{1}{\mu_0} F^{ij} \quad (9.37)$$

a tensor energie a hybnosti vychází nesymetrický

$$\bar{T}^{ik} = -\frac{1}{\mu_0} \left( g^{ij} g_{lm} \frac{\partial A^l}{\partial x^j} F^{km} - \frac{1}{4} g^{ik} F_{lm} F^{lm} \right) \quad . \quad (9.38)$$

K výrazu pro  $\bar{T}^{ik}$  můžeme ovšem přidat člen, zaručující symetrii, který přitom neovlivní celkovou hybnost

$$\bar{T}^{ik} \rightarrow T^{ik} = \bar{T}^{ik} + \frac{\partial \tau^{ikl}}{\partial x^l} \quad , \quad \tau^{ikl} = -\tau^{ilk} \quad . \quad (9.39)$$

Požadavek symetrie se objevuje proto, aby byl splněn i zákon zachování momentu hybnosti, definovaného vztahem  $M^{ikl} = x^i T^{kl} - x^k T^{il}$ , tedy

$$\frac{\partial M^{ikl}}{\partial x^l} = 0 \Leftrightarrow T^{ik} = T^{ki} \quad . \quad (9.40)$$

Pro elektromagnetické pole tensor  $\tau^{ikl}$  snadno najdeme jako

$$\tau^{ikl} = \frac{1}{\mu_0} A^i F^{kl} \quad , \quad (9.41)$$

takže výsledný tensor energie a hybnosti bude

$$T^{ik} = \frac{1}{\mu_0} \left( -g_{lm} F^{il} F^{km} + \frac{1}{4} g^{ik} F_{lm} F^{lm} \right) . \quad (9.42)$$

Zapsáno pomocí tří rozměrných veličin

$$T^{ik} = \begin{pmatrix} W & \frac{1}{c} S_\beta \\ \frac{1}{c} S_\alpha & -\sigma_{\alpha\beta} \end{pmatrix} , \quad (9.43)$$

kde

$$W = \frac{1}{2} \left( \epsilon_0 \vec{E}^2 + \frac{1}{\mu_0} \vec{B}^2 \right) , \quad \vec{S} = \frac{1}{\mu_0} \vec{E} \times \vec{B} \quad (9.44)$$

jsou hustota energie a Poyntingův vektor a

$$\sigma_{\alpha\beta} = \epsilon_0 E_\alpha E_\beta + \frac{1}{\mu_0} B_\alpha B_\beta - W \delta_{\alpha\beta} \quad (9.45)$$

je Maxwellův tenzor napětí.

## 9.7 Vlnová rovnice a rovinné vlny

Vezmeme druhý pár Maxwellových rovnic (ve vakuu) a dosadíme vyjádření pole pomocí potenciálů

$$\frac{\partial F^{ik}}{\partial x^k} = 0 , \quad F^{ik} = g^{ij} g^{kl} \left( \frac{\partial A_l}{\partial x^j} - \frac{\partial A_j}{\partial x^l} \right) , \quad (9.46)$$

$$g^{ij} \frac{\partial^2 A^k}{\partial x^j \partial x^k} - g^{kl} \frac{\partial^2 A^i}{\partial x^k \partial x^l} = 0 .$$

Lorentzova kalibrační podmínka zjednoduší (9.46) na vlnovou rovnici

$$\frac{\partial A^k}{\partial x^k} = 0 , \quad -g^{kl} \frac{\partial^2 A^i}{\partial x^k \partial x^l} = 0 . \quad (9.47)$$

Pomocí d'Alembertova operátoru

$$\square = \Delta - \frac{1}{c^2} \frac{\partial^2}{\partial t^2} \quad (9.48)$$

máme pak ve tří rozměrném zápisu

$$\frac{\partial \phi}{\partial t} + \vec{\nabla} \cdot \vec{A} = 0 , \quad \square \phi = 0 , \quad \square \vec{A} = 0 . \quad (9.49)$$

Hledáme-li řešení ve tvaru rovinné vlny, jde vlastně o konstantní vektor násobený komplexní jednotkou. Je pak

$$A^i = \text{Re} \left\{ a^i \exp(i k_j x^j) \right\} , \quad k_i k^i = 0 , \quad k_i a^i = 0 . \quad (9.50)$$

Poslední vztah ve (9.50) je dán Lorentzovou kalibrační podmínkou. Tyto vektory hybnosti zapisujeme jako

$$k^i = \left( \frac{\omega}{c}, \vec{k} \right) , \quad \vec{k} = \frac{\omega}{c} \vec{n} , \quad \vec{n}^2 = 1 . \quad (9.51)$$

Velmi jednoduše popíšeme pomocí charakteristik rovinné monochromatické vlny Dopplerův jev. Mějme zdroj světla, který je v klidu v soustavě  $K_{(0)}$ . Soustava  $K_{(0)}$  se pohybuje vzhledem k laboratorní soustavě  $K$  rychlostí  $V$ .  $\alpha$  je úhel mezi směrem pohybu zdroje a směrem šíření světla. Potom platí

$$\begin{aligned} k_{(0)}^0 &= \frac{k^0 - \beta k^1}{\sqrt{1 - \beta^2}} , \quad k_{(0)}^0 = \frac{\omega_{(0)}}{c} , \quad k^0 = \frac{\omega}{c} , \\ k_{(0)}^1 &= \frac{k^1 - \beta k^0}{\sqrt{1 - \beta^2}} , \quad k_{(0)}^1 = \frac{\omega_{(0)}}{c} \cos \alpha_{(0)} , \quad k^1 = \frac{\omega}{c} \cos \alpha \end{aligned} \quad (9.52)$$

a odtud

$$\omega = \omega_{(0)} \frac{\sqrt{1 - \beta^2}}{1 - \beta \cos \alpha} . \quad (9.53)$$

Pro rychlosti malé ve srovnání s rychlostí světla máme

$$\omega \approx \omega_{(0)} \left( 1 + \frac{V}{c} \cos \alpha + \frac{1}{2} \frac{V^2}{c^2} \cos 2\alpha \right) . \quad (9.54)$$

Tensor energie a hybnosti je

$$T^{ik} = \frac{c^2}{\omega^2} W k^i k^k , \quad W = \frac{1}{2\mu_0} \left[ a^i a_i^* + \text{Re} \left\{ a^i a_i \exp(2i k_j x^j) \right\} \right] . \quad (9.55)$$

Ve střední hodnotě podle času je druhý člen ve výrazu pro hustotu energie roven nule. Oba invarianty (9.27) jsou rovny nule. Se speciální volbou kalibrace (spojené ovšem s jednou úhlovou inerciální souřadnou soustavou) máme

$$\begin{aligned} A^i &= (0, \vec{A}) , \quad \vec{A} = a_y \cos(\omega t - kx + \alpha) \vec{e}_y + a_z \sin(\omega t - kx + \alpha) \vec{e}_z , \\ \vec{E} &= \omega a_y \sin(\omega t - kx + \alpha) \vec{e}_y - \omega a_z \cos(\omega t - kx + \alpha) \vec{e}_z , \\ \vec{B} &= k a_z \cos(\omega t - kx + \alpha) \vec{e}_y + k a_y \sin(\omega t - kx + \alpha) \vec{e}_z . \end{aligned} \quad (9.56)$$

Eliptická polarizace takové vlny je vidět ze vztahu

$$\frac{E_y^2}{\omega^2 a_y^2} + \frac{E_z^2}{\omega^2 a_z^2} = 1 , \quad \frac{B_y^2}{k^2 a_z^2} + \frac{B_z^2}{k^2 a_y^2} = 1 . \quad (9.57)$$

